

الاتحاد الدولي للاتصالات

# ITU-R

قطاع الاتصالات الراديوية في الاتحاد الدولي للاتصالات

**التوصية ITU-R P.1411-8**  
(2015/07)

بيانات الانتشار وطرائق التنبؤ لتخطيط أنظمة  
الاتصالات الراديوية قصيرة المدى المعدة للعمل  
خارج المباني والشبكات المحلية الراديوية في مدى  
الترددات المتراوحة بين 300 MHz و 100 GHz

السلسلة P

انتشار الموجات الراديوية



## تمهيد

يظطلع قطاع الاتصالات الراديوية بدور يتمثل في تأمين الترشيد والإنصاف والفعالية والاقتصاد في استعمال طيف الترددات الراديوية في جميع خدمات الاتصالات الراديوية، بما فيها الخدمات الساتلية، وإجراء دراسات دون تحديد مدى الترددات، تكون أساساً لإعداد التوصيات واعتمادها. ويؤدي قطاع الاتصالات الراديوية وظائفه التنظيمية والسياساتية من خلال المؤتمرات العالمية والإقليمية للاتصالات الراديوية وجمعيات الاتصالات الراديوية بمساعدة لجان الدراسات.

## سياسة قطاع الاتصالات الراديوية بشأن حقوق الملكية الفكرية (IPR)

يرد وصف للسياسة التي يتبعها قطاع الاتصالات الراديوية فيما يتعلق بحقوق الملكية الفكرية في سياسة البراءات المشتركة بين قطاع تقييس الاتصالات وقطاع الاتصالات الراديوية والمنظمة الدولية للتوحيد القياسي واللجنة الكهروتقنية الدولية (ITU-T/ITU-R/ISO/IEC) والمشار إليها في الملحق 1 بالقرار ITU-R 1. وترد الاستثمارات التي ينبغي لحاملي البراءات استعمالها لتقديم بيان عن البراءات أو للتصريح عن منح رخص في الموقع الإلكتروني <http://www.itu.int/ITU-R/go/patents/en> حيث يمكن أيضاً الاطلاع على المبادئ التوجيهية الخاصة بتطبيق سياسة البراءات المشتركة وعلى قاعدة بيانات قطاع الاتصالات الراديوية التي تتضمن معلومات عن البراءات.

### سلاسل توصيات قطاع الاتصالات الراديوية

(يمكن الاطلاع عليها أيضاً في الموقع الإلكتروني <http://www.itu.int/publ/R-REC/en>)

العنوان	السلسلة
البث الساتلي	BO
التسجيل من أجل الإنتاج والأرشفة والعرض؛ الأفلام التلفزيونية	BR
الخدمة الإذاعية (الصوتية)	BS
الخدمة الإذاعية (التلفزيونية)	BT
الخدمة الثابتة	F
الخدمة المتنقلة وخدمة الاستدلال الراديوي وخدمة الهواة والخدمات الساتلية ذات الصلة	M
<b>انتشار الموجات الراديوية</b>	<b>P</b>
علم الفلك الراديوي	RA
أنظمة الاستشعار عن بُعد	RS
الخدمة الثابتة الساتلية	S
التطبيقات الفضائية والأرصاد الجوية	SA
تقاسم الترددات والتنسيق بين أنظمة الخدمة الثابتة الساتلية والخدمة الثابتة	SF
إدارة الطيف	SM
التجميع الساتلي للأخبار	SNG
إرسالات الترددات المعيارية وإشارات التوقيت	TF
المفردات والمواضيع ذات الصلة	V

**ملاحظة:** تمت الموافقة على النسخة الإنكليزية لهذه التوصية الصادرة عن قطاع الاتصالات الراديوية بموجب الإجراء الموضح في القرار ITU-R 1.

النشر الإلكتروني

جنيف، 2016

## التوصية ITU-R P.1411-8

بيانات الانتشار وطرائق التنبؤ لتخطيط أنظمة الاتصالات الراديوية قصيرة المدى  
المعدة للعمل خارج المباني والشبكات المحلية الراديوية في مدى الترددات  
المتراوحة بين 300 MHz و 100 GHz

(المسألة ITU-R 211/3)

(1999-2001-2003-2005-2007-2009-2012-2013-2015)

## مجال التطبيق

تنطوي هذه التوصية على توجيهات بشأن الانتشار قصير المدى في مجال الترددات 300 MHz إلى 100 GHz. وتتوفر المعلومات عن نماذج خسارة المسيرات في كل من بيئة خط البصر (LoS) وخلاف خط البصر (NLoS)، وخسارة اختراق المباني، ونماذج تعدد المسيرات لكل بيئة أحادي الشوارع وفوق سطوح المباني، وعدد مكونات الإشارة، وخصائص الاستقطاب، وخصائص الخبو.

إن جمعية الاتصالات الراديوية للاتحاد الدولي للاتصالات،

إذ تضع في اعتبارها

- أ) أن عدداً كبيراً من التطبيقات الجديدة للاتصالات المتنقلة والاتصالات الشخصية قصيرة المدى (أقل من 1 km) يجري تطويرها حالياً؛
- ب) أن هناك طلباً كبيراً على الشبكات المحلية الراديوية (RLAN) وأنظمة العروة المحلية اللاسلكية؛
- ج) أن الأنظمة قصيرة المدى التي تستعمل قدرة منخفضة جداً لها مزايا عديدة لتقديم خدمات في البيئة المتنقلة وفي العروة المحلية اللاسلكية؛
- د) أن من الضروري جداً لتصميم هذه الأنظمة معرفة خصائص الانتشار والتداخلات الناتجة عن وجود عدة مستعملين في المنطقة نفسها؛
- هـ) أن من الضروري على السواء توفر نماذج عامة (أي مستقلة عن الموقع) ومشورة بشأن التخطيط الأولي للأنظمة وتقييم التداخلات وتوفر نماذج محددة (أي خاصة بمواقع معينة) لبعض التقييمات المفصلة،

وإذ تلاحظ

- أ) أن التوصية ITU-R P.1238 تضع الخطوط التوجيهية المتعلقة بالانتشار داخل المباني على مدى الترددات المتراوحة بين 300 MHz و 100 GHz وبالتالي يجب الرجوع إليها في الحالات التي تنطبق فيها ظروف الانتشار داخل المباني وخارجها على السواء؛
- ب) أن التوصية ITU-R P.1546 تضع الخطوط التوجيهية المتعلقة بالانتشار للأنظمة العاملة على مسافات تبلغ وتتجاوز 1 km وعلى مدى الترددات المتراوحة بين 30 MHz و 3 GHz؛
- ج) أن التوصية ITU-R P.2040 تقدم توجيهات بشأن آثار خواص مواد البناء وهياكل المباني على انتشار الموجات الراديوية،

توصي

باعتماد البيانات والطرائق المحددة في الملحق 1 لتقييم خصائص الانتشار المتعلقة بأنظمة الاتصالات الراديوية قصيرة المدى المعدة للعمل خارج المباني بين 300 MHz و 100 GHz، حيثما أمكن.

## الملحق 1

## 1 مقدمة

يتأثر الانتشار عبر مسافات تقل عن 1 km أساساً بالمباني والأشجار أكثر منه بالتضاريس. ويكون تأثير المباني غالباً، حيث إن معظم الوصلات الراديوية قصيرة المدى توجد في المناطق الحضرية وشبه الحضرية. أما المطاريق المتنقلة فالأرجح أن يحملها المشاة أو أن تكون على متن مركبة.

تعرف هذه التوصية فئات مسيرات الانتشار على مسافات قصيرة، وتقدم طرائق لتقدير خسارة المسير وامتداد الانتشار الزمني والانتشار الزاوي والارتباط المتبادل على هذه المسيرات.

ونماذج انتشار هذه الطرائق متناظرة بمعنى أنها تعامل المطاريق الراديويين عند طرفي المسير بنفس الأسلوب. فمن منظور النموذج، لا يهم أي من المطاريق هو المرسل وأيها هو المستقبل. لذا، يُستعمل مصطلحا "المحطة 1" و"المحطة 2" للدلالة على المطاريق عند بدء ونهاية مسير الانتشار على التوالي.

## 2 بيئات التشغيل المادية وتعريف أنماط الخلايا

تصنف البيئات الموصوفة في هذه التوصية من حيث انتشار الموجات الراديوية فقط. وتتأثر الموجات الراديوية بالبيئة، أي بمباني المباني وارتفاعها وباستعمال المطاريق المتنقلة (مشاة أو مركبات) وبموقع الهوائيات. وقد تم تحديد خمس بيئات مختلفة باعتبارها أكثر البيئات نمطية. إذ لم تؤخذ بعين الاعتبار مثلاً المناطق كثيرة التلال لأنها لا تمثل المناطق الحضرية. ويعرض الجدول 1 البيئات الخمس. ونظراً إلى تعدد أنواع البيئات في كل فئة فليس الغرض نمذجة كل حالة ممكنة، وإنما وضع نماذج الانتشار التي تمثل البيئات الأكثر شيوعاً.

## الجدول 1

## بيئات التشغيل المادية - حالات الانحطاط المرتبطة بظواهر الانتشار

الوصف وحالات الانحطاط المرتبطة بظواهر الانتشار ذات الأهمية	البيئة
<ul style="list-style-type: none"> <li>- أحياد حضرية عميقة مزدحمة، شوارع منحصرة بين مبان بكثافة عالية وتتكون من بضع عشرات من الطوابق</li> <li>- مباني وناطحات سحب بكثافة عالية تتداخل فيما بينها وينتج عنها مسيرات انتشار عالية الانتشار في غير خط البصر</li> <li>- صفوف من المباني متعددة الطوابق تطرح احتمال استتالة وقت الانتشار</li> <li>- كثافة مرورية كبيرة للمركبات وزيادة معدلات تدفق الزوار في المنطقة يجعل من هذه المركبات وهؤلاء الزوار يعملون كعواكس مما يزيد من الإزاحة الدوبلرية للموجات المنعكسة</li> <li>- أشجار على جانبي الشوارع توفر دينامية للحجب</li> </ul>	مناطق حضرية شاهقة الارتفاع
<ul style="list-style-type: none"> <li>- "الأحياد الحضرية" أي الشوارع المنحصرة بين مبان من عدة طوابق</li> <li>- قلة احتمال الانتشار فوق سطوح المباني بسبب ارتفاعها</li> <li>- احتمال استتالة وقت الانتشار بسبب صفوف المباني العالية</li> <li>- العربات العديدة المتنقلة في المنطقة تكون بمثابة عوائق تعكس الموجات مضيفة بذلك إزاحة دوبلرية إلى الموجات المنعكسة</li> </ul>	المناطق الحضرية المرتفعة
<ul style="list-style-type: none"> <li>- شوارع واسعة</li> <li>- احتمال الانعراج فوق سطوح المباني التي لا تتجاوز ثلاثة طوابق بصورة عامة</li> <li>- احتمال أن تؤدي العربات المتنقلة إلى ظواهر الانعكاس والحجب في بعض الأحيان</li> <li>- التأثيرات الأساسية هي امتداد وقت الانتشار وقلة الإزاحة الدوبلرية</li> </ul>	المناطق الحضرية منخفضة الارتفاع/شبه الحضرية

## الجدول 1 (تتمة)

الوصف وحالات الانحطاط المرتبطة بظواهر الانتشار ذات الأهمية	البيئة
<ul style="list-style-type: none"> <li>- منازل بطابق واحد أو اثنين</li> <li>- شوارع ذات اتجاهين عموماً مع وقوف سيارات على الجانبين</li> <li>- احتمال وجود أشجار كثيفة الأوراق إلى حد ما</li> <li>- حركة سير خفيفة عادة</li> </ul>	المناطق السكنية
<ul style="list-style-type: none"> <li>- منازل صغيرة تحيط بها حدائق كبيرة</li> <li>- تأثير التضاريس (طوبوغرافيا)</li> <li>- احتمال وجود أشجار كثيفة الأوراق إلى حد ما</li> <li>- حركة سير شديدة أحياناً</li> </ul>	المناطق الريفية

ويراعى سيناريوهان محتملان لكل بيئة من هذه البيئات الخمس. وبالتالي يُقسّم المستعملون إلى مشاة وعربات. وتختلف سرعة الهاتف المتنقل اختلافاً كبيراً بالنسبة إلى هذين التطبيقين مما يؤدي إلى إزاحات دوبلرية مختلفة. ويعرض الجدول 2 السرعات النموذجية لهذين السيناريوهين.

## الجدول 2

## بيانات التشغيل المادية - السرعة النموذجية للهاتف المتنقل

سرعة تنقل العربات	سرعة تنقل المشاة (m/s)	البيئة
سرعة نموذجية في وسط المدينة حوالي 50 km في الساعة (14 m/s)	1,5	المناطق الحضرية شاهقة الارتفاع/المرتفعة
حوالي 50 km في الساعة (14 m/s) طرق سريعة حتى 100 km في الساعة (28 m/s)	1,5	المناطق الحضرية منخفضة الارتفاع/شبه الحضرية
حوالي 40 km في الساعة (11 m/s)	1,5	المناطق السكنية
حوالي 80-100 km في الساعة (22-28 m/s)	1,5	المناطق الريفية

يعتمد نمط آلية الانتشار المهيمن أساساً على ارتفاع هوائي المحطة القاعدة بالنسبة إلى المباني المحيطة. ويعرض الجدول 3 أنماط الخلايا النموذجية ذات الصلة بالانتشار خارج المباني عبر مسافة قصيرة.

## الجدول 3

## تعريف أنماط الخلايا

الموقع النموذجي لهوائي المحطة القاعدة	نصف قطر الخلية	نمط الخلية
في الخارج، فوق متوسط مستوى السطح، وقد تكون بعض المباني المحيطة أعلى من ارتفاع هوائي المحطة القاعدة	0,05 إلى 1 km	خلية صغيرة
في الخارج، دون متوسط مستوى سطح المباني	0,05 إلى 0,5 km	خلية صغيرة حضرية مزدحمة
في الداخل أو في الخارج (دون مستوى سطح المباني)	حتى 50 m	خلية دقيقة

(جدول بالملاحظة أن نمط "الخلية الصغيرة الحضرية المزدحمة" غير معرف صراحة في توصيات لجنة الدراسات 5 للاتصالات الراديوية.)

## 3 فئات المسيرات

## 1.3 تعريف حالات الانتشار

ينظر في ثلاث مستويات بالنسبة لموقع المحطة في هذه التوصية. وهي (1) فوق قمة السطح (يرمز إليه بالرمز L1 في الشكل 1)؛ (2) تحت قمة السطح ولكن فوق قمة المبنى (L2)؛ و(3) عند قمة المبنى أو تحتها (L3). وإجمالاً، يمكن النظر في ستة أنواع مختلفة من الوصلات حسب مواقع المحطات، كل منها قد يكون على خط البصر أو خارج خط البصر.

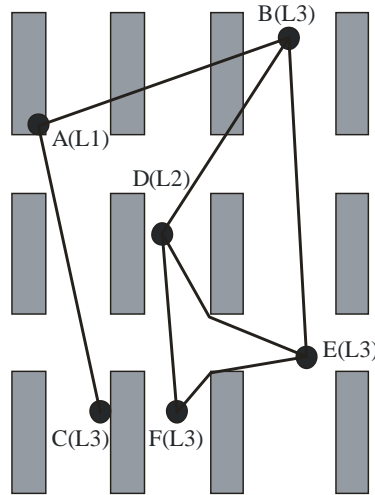
ويوضح الشكل 1 حالات الانتشار النمطية في المناطق الحضرية وشبه الحضرية. وعندما تتركب محطة (A) فوق قمة السطح ومحطة أخرى (B أو C) عند قمة المبنى، تكون الخلية المقابلة خلية صغيرة. وقد يكون المسير على خط البصر (من A إلى C) أو خارج خط البصر (من A إلى B). ويكون الانتشار بين المحطتين A و B عادة فوق قمم الأسطح. وعندما تتركب محطة (D) تحت قمة السطح ولكن فوق قمة المبنى، ومحطة أخرى (E أو F) عند قمة المبنى في بيئة حضرية أو شبه حضرية، تكون الخلية المقابلة إما بيئة خلية صغيرة أو بيئة خلية متناهية الصغر. ويتم الانتشار في أنماط الخلايا هذه داخل "أحاديدي الشوارع". وبالنسبة إلى الوصلات بين الهوائيات المتنقلة، يمكن افتراض وقوع طرفي الوصلة عند قمة المبنى. وقد يكون المسير على خط البصر (من B إلى E) أو خارج خط البصر (من E إلى F).

## 1.1.3 الانتشار فوق السطح خارج خط البصر (NLoS)

يوضح الشكل 2 الحالة النموذجية للانتشار خارج خط البصر (الوصلة بين A و B في الشكل 1) وتسمى فيما يلي الحالة NLoS1.

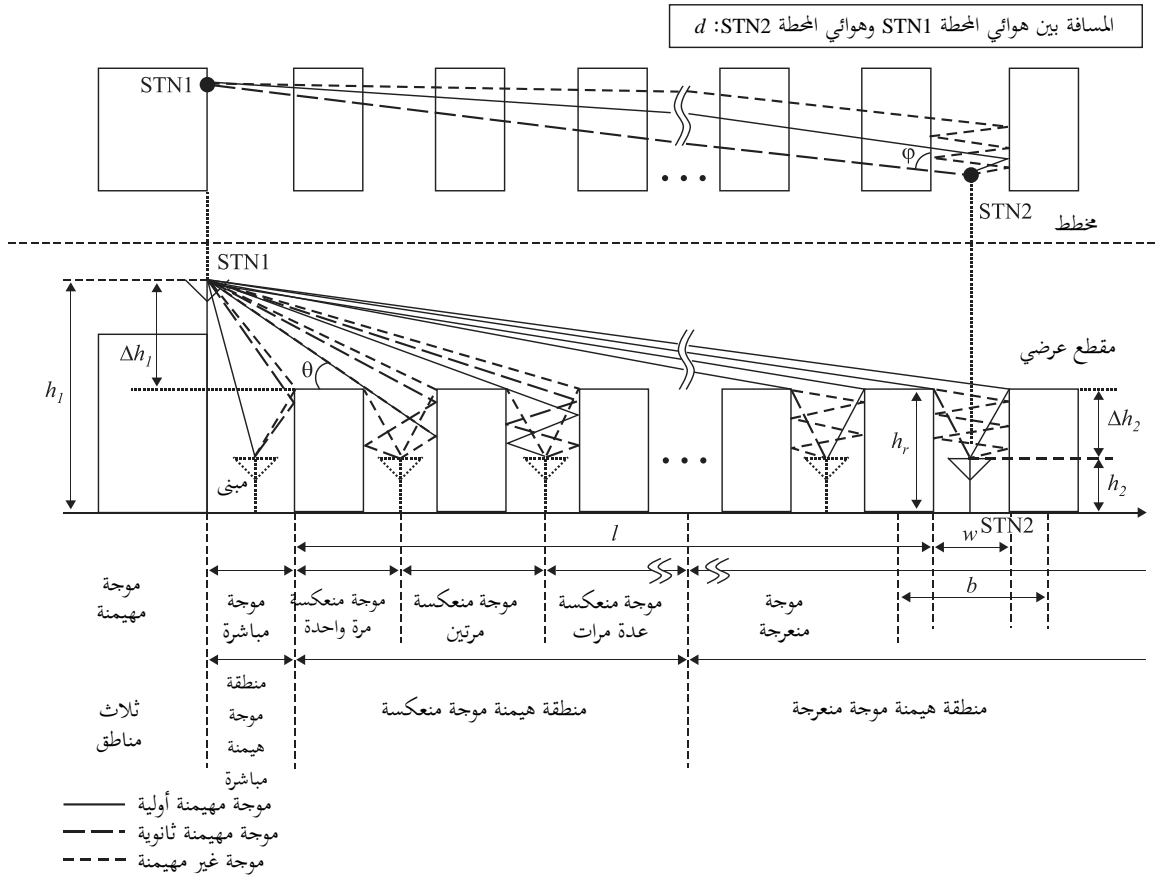
الشكل 1

حالات الانتشار النموذجية في المناطق الحضرية



## الشكل 2

## تعريف معلمات الحالة NLoS1



P.1411-02

المعلومات المتصلة بهذه الحالة هي كالاتي:

$h_r$ : متوسط ارتفاع المباني (m)

$w$ : عرض الشارع (m)

$b$ : متوسط المسافة بين المباني (m)

$\phi$ : اتجاه الشارع بالنسبة إلى المسير المباشر (بالدرجات)

$h_1$ : ارتفاع هوائي المحطة 1 (m)

$h_2$ : ارتفاع هوائي المحطة 2 (m)

$l$ : طول المسير الذي تغطيه المباني (m)

$d$ : المسافة بين المحطة 1 والمحطة 2.

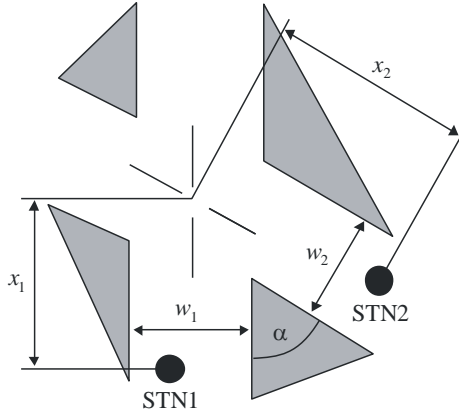
تصادف الحالة NLoS1 غالباً في البيئات السكنية/الريفية فيما يتعلق بجميع أنماط الخلايا وتكون هذه الحالة مهيمنة في البيئات الحضرية/شبه الحضرية منخفضة المباني فيما يتعلق بالخلايا الموسعة. ويمكن حساب المعلمات  $h_r$  و  $b$  و  $l$  من البيانات المتصلة بالمباني الموجودة على امتداد الخط الواصل بين الهوائيات، ولكن تحديد المعلمتين  $w$  و  $\phi$  يتطلب إجراء تحليل ثنائي الأبعاد للمنطقة المحيطة بالهاتف المتنقل. وحدير بالملاحظة أن  $l$  غير متعامدة بالضرورة مع اتجاه المبنى.

### 2.1.3 الانتشار على امتداد الأخاديد الحضرية، NLoS

يصف الشكل 3 الوضع المقابل لحالة نموذجية حضرية كثيفة لاستعمال الخلايا الصغيرة NLoS (وصلة بين المحطة D والمحطة E في الشكل 1). وتسمى هذه الحالة فيما يلي NLoS2.

الشكل 3

#### تعريف معلمات الحالة NLoS2



P.1411-03

المعلومات المتصلة بهذه الحالة هي كالتالي:

- $w_1$ : عرض الشارع عند موقع المحطة 1 (m)
- $w_2$ : عرض الشارع عند موقع المحطة 2 (m)
- $x_1$ : المسافة بين المحطة 1 وتقاطع الطرق (m)
- $x_2$ : المسافة بين المحطة 2 وتقاطع الطرق (m)
- $\alpha$ : زاوية تقاطع الطرق (rad).

الحالة NLoS2 هي نمط المسير السائد في البيئات الحضرية عالية المباني فيما يتعلق بجميع أنماط الخلايا وكثيراً ما تصادف هذه الحالة أيضاً في البيئات الحضرية المزدهمة وذلك فيما يتعلق بالخلايا الصغيرة والخلايا الدقيقة. ويجب إجراء تحليل ثنائي الأبعاد للمنطقة المحيطة بالهاتف المتنقل لتحديد جميع المعلمات المقابلة للحالة NLoS2.

### 3.1.3 مسيرات خط البصر (LoS)

تعتبر المسيرات C-A و F-D و E-B في الشكل 1 أمثلة على حالات خط البصر. ويمكن تطبيق نفس النماذج على هذه الأنواع من مسيرات خط البصر.

### 2.3 البيانات اللازمة

بالنسبة إلى الحسابات الخاصة بموقع ما في بيئة حضرية، يمكن استعمال أنماط مختلفة من البيانات. ويمكن الحصول من البيانات عالية الاستبانة على أدق المعلومات بشأن:

- هياكل المباني؛
- وارتفاع المباني النسبي والمطلق؛
- والغطاء النباتي.



ويمكن أن تكون أنساق البيانات من نمط المصفوفات أو المتجهات. وينبغي أن تكون دقة البيانات المتجهية فيما يتعلق بموقع المحطات في حدود 1 إلى 2 m. وتكون الاستبانة الموصى بها للبيانات من نمط المصفوفة 1 إلى 10 m. وينبغي أن تكون دقة الارتفاع لكلا نسقي البيانات في حدود 1 إلى 2 m.

وفي غياب البيانات عالية الاستبانة، يوصى باستعمال بيانات استخدام الأراضي الأقل استبانة (50 m) واعتماداً على تعريف فئات استخدام الأراضي (الحضرية الكثيفة، والحضرية، وشبه الحضرية، إلخ). يمكن عزو المعلومات اللازمة إلى هذه الفئات المختلفة. كما يمكن استعمال هذه البيانات بالاقتران مع معلومات متجهية عن الشوارع لحساب زوايا اتجاه الشوارع.

#### 4 نماذج خسارة المسير

يمكن تطبيق خوارزميات مغلقة فيما يتعلق بالسيناريوهات النموذجية في المناطق الحضرية. ويمكن استعمال نماذج الانتشار هذه لإجراء الحسابات المتصلة بموقع محدد أو بأي موقع عموماً. وتعرف الفقرة 1.3 حالات الانتشار المقابلة. ويعتمد نمط النموذج أيضاً على مدى التردد. ويجب تطبيق نماذج مختلفة بالنسبة إلى الانتشار بالموجات الديسيمتريّة (UHF) أو الانتشار بالموجات المليمترية (mm-wave). وفي حالة الانتشار بالموجات الديسيمتريّة تؤخذ في الاعتبار حالات الانتشار LoS و NLoS. وفي حالة الانتشار بالموجات المليمترية، لا يُنظر إلا في حالة الانتشار LoS. وفضلاً عن ذلك، يجب أن تؤخذ بعين الاعتبار ظواهر التوهين الإضافي بسبب الأوكسجين والماء الجوي.

#### 1.4 نماذج الانتشار في "الأخاديد" الحضرية

##### 1.1.4 حالة خط البصر

تصور هذه الحالة في الشكل 1 كمسيرات بين A و C أو بين D و F أو بين B و E.

الانتشار بالموجات الديسيمتريّة

يمكن أن تتميز الخسارة الأساسية للإرسال في مدى التردد بالموجات الديسيمتريّة المعرفة في التوصية ITU-R P.341 بميلين ونقطة قطع واحدة. ويعطى حد منخفض تقريبي  $L_{LoS,l}$  بالصيغة التالية:

$$(1) \quad L_{LoS,l} = L_{bp} + \begin{cases} 20 \log_{10} \left( \frac{d}{R_{bp}} \right) & \text{for } d \leq R_{bp} \\ 40 \log_{10} \left( \frac{d}{R_{bp}} \right) & \text{for } d > R_{bp} \end{cases}$$

حيث  $R_{bp}$  هي المسافة التي تقع عندها نقطة القطع بالأمتار وتعطى بالصيغة التالية:

$$(2) \quad R_{bp} \approx \frac{4h_1h_2}{\lambda}$$

حيث  $\lambda$  هو طول الموجة (m). ويستند الحد الأدنى إلى نموذج الانعكاس بشعاعين لمستوى الأرض.

ويعطى حد أعلى تقريبي  $L_{LoS,u}$  بالصيغة التالية:

$$(3) \quad L_{LoS,u} = L_{bp} + 20 + \begin{cases} 25 \log_{10} \left( \frac{d}{R_{bp}} \right) & \text{for } d \leq R_{bp} \\ 40 \log_{10} \left( \frac{d}{R_{bp}} \right) & \text{for } d > R_{bp} \end{cases}$$

حيث  $L_{bp}$  هي قيمة الخسارة الأساسية للإرسال عند نقطة قطع الميل وتساوي:

$$(4) \quad L_{bp} = \left| 20 \log_{10} \left( \frac{\lambda^2}{8\pi h_1 h_2} \right) \right|$$

ويبلغ هامش الخبو في الحد الأعلى 20 dB. وفي المعادلة (3)، يثبت معامل التوهين قبل نقطة القطع على القيمة 2,5 لأن المسافة القصيرة تفضي إلى أثر ضعيف للظل.

ووفقاً لمنحني الخسارة في الفضاء الحر تنتج القيمة المتوسطة  $L_{LoS,m}$  باستعمال المعادلة:

$$(5) \quad L_{LoS,m} = L_{bp} + 6 + \begin{cases} 20 \log_{10} \left( \frac{d}{R_{bp}} \right) & \text{pour } d \leq R_{bp} \\ 40 \log_{10} \left( \frac{d}{R_{bp}} \right) & \text{pour } d > R_{bp} \end{cases}$$

الانتشار بالموجات السنتيمترية (SHF) حتى 15 GHz

بالنسبة إلى أطوال المسير حتى حوالي 1 km في حالة الموجات السنتيمترية يكون لحركة السير تأثير على الارتفاع الفعّال للطريق يؤثر بالتالي على مسافة نقطة قطع الميل. وتقدر هذه المسافة  $R_{bp}$  بالمعادلة التالية:

$$(6) \quad R_{bp} = 4 \frac{(h_1 - h_s)(h_2 - h_s)}{\lambda}$$

حيث  $h_s$  هو الارتفاع الفعّال للطريق نتيجة الأشياء الموجودة كالسيارات على الطريق والأشخاص الموجودين على مقربة من الطريق. ولذا تعتمد  $h_s$  على حركة السير. وتستخلص قيم  $h_s$  المبينة في الجدولين 4 و 5 من القياسات النهارية والليلية المقابلة لظروف حركة السير الكثيفة والخفيفة على التوالي. وتقابل حركة السير الكثيفة نسبة تغطية للطريق بالسيارات تتراوح بين 10% و 20% ونسبة وجود المشاة على الأرصفة تتراوح بين 0,2% و 1%. وتقابل حركة السير الخفيفة نسبة تغطية للطريق بالسيارات تتراوح بين 0,1% و 0,5% ونسبة وجود المشاة على الأرصفة أقل من 0,001%، علماً بأن عرض الطريق يبلغ 27 متراً بما في ذلك 6 أمتار لكل من رصيفي الطريق.

## الجدول 4

الارتفاع الفعّال للطريق،  $h_s$  (حركة سير كثيفة)

$h_s$ (m)		$h_1$ (m)	التردد (GHz)
$1,6 = h_2$	$2,7 = h_2$		
(2)	1,3	4	3,35
(2)	1,6	8	
(2)	1,6	4	8,45
(2)	1,6	8	
(2)	1,4	4	15,75
(2)	(1)	8	

(1) نقطة قطع الميل أبعد من 1 km.

(2) لا توجد أي نقطة قطع.

## الجدول 5

الارتفاع الفعّال للطريق،  $h_s$  (حركة سير خفيفة)

$h_s$ (m)		$h_1$ (m)	التردد (GHz)
$1,6 = h_2$	$2,7 = h_2$		
0,23	0,59	4	3,35
(1)	(1)	8	
0,43	(2)	4	8,45
(1)	(2)	8	
0,74	(2)	4	15,75
(1)	(2)	8	

(1) لم يجر أي قياس.

(2) نقطة قطع الميل أبعد من 1 km.

عندما يكون  $h_1$  و  $h_2 < h_s$ ، يمكن حساب القيم التقريبية للحدود العليا والدنيا للخسارة الأساسية للإرسال في نطاق الترددات على الموجات السنتيمترية باستعمال المعادلتين (1) و (3) حيث تعطى القيمة  $L_{bp}$  بالصيغة التالية:

$$(7) \quad L_{bp} = \left| 20 \log_{10} \left\{ \frac{\lambda^2}{8\pi(h_1 - h_s)(h_2 - h_s)} \right\} \right|$$

ومن جهة أخرى، عندما تكون  $h_1 \geq h_s$  أو  $h_2 \geq h_s$ ، لا توجد أية نقطة قطع. وعندما يكون المطرفان قريبين من بعضهما ( $R_s > d$ )، تكون خسارة الانتشار الأساسية مشابهة لخسارة مدى الموجات الديسيتمترية. وعندما يكون المطرفان بعيدين عن بعضهما، فإن خصائص الانتشار تكون فيها قيمة معامل التوهين مكعبة. وهكذا تعطى القيمة التقريبية الدنيا من أجل  $R_s \leq d$  بالصيغة التالية:

$$(8) \quad L_{LoS,l} = L_s + 30 \log_{10} \left( \frac{d}{R_s} \right)$$

تعطى القيمة التقريبية العليا من أجل  $R_s \leq d$  بالصيغة التالية:

$$(9) \quad L_{LoS,u} = L_s + 20 + 30 \log_{10} \left( \frac{d}{R_s} \right)$$

تعرف خسارة الانتشار الأساسية  $L_s$  كالتالي:

$$(10) \quad L_s = \left| 20 \log_{10} \left( \frac{\lambda}{2\pi R_s} \right) \right|$$

وقد تم تحديد قيمة 20 m للقيمة  $R_s$  تجريبياً في المعادلات من (8) إلى (10).

وبناءً على القياسات، تنتج القيمة المتوسطة باستعمال المعادلة:

$$(11) \quad L_{LoS,m} = L_s + 6 + 30 \log_{10} \left( \frac{d}{R_s} \right)$$

انتشار الموجات المليمترية

عند الترددات التي تفوق 10 GHz تكون المسافة التي تقع عندها نقطة قطع الميل  $R_{bp}$  في المعادلة (2) أبعد بكثير من نصف القطر الأقصى المتوقع للخلية (500 m). وهذا يعني عدم انطباق أي قانون أسّي بالقوة أربعة في نطاق التردد هذا. وبالتالي يكاد يتبع معدل تناقص القدرة بدلالة المسافة قانون الانتشار في الفضاء الحر مع أس توهين على المسير قدره حوالي 1,9-2,2.

وبالهوائيات الاتجاهية، تعطى خسارة المسير عندما يكون تسديد الهوائيات على استقامة واحدة كما يلي:

$$(12) \quad L_{LoS} = L_0 + 10n \log_{10} \frac{d}{d_0} + L_{gas} + L_{rain} \text{ dB}$$

حيث  $n$  هو أس خسارة المسير، و  $d$  هي المسافة بين المحطة 1 والمحطة 2، و  $L_0$  هي خسارة المسير على المسافة المرجعية  $d_0$ . وبالنسبة للمسافة المرجعية  $d_0$  البالغة 1 m، وعلى افتراض الانتشار في الفضاء الحر  $L_0 = 20 \log_{10} f - 28$  حيث وحدة التردد  $f$  هي MHz. و  $L_{rain}$  و  $L_{gas}$  هما التوهين الناتج عن غازات الغلاف الجوي والمطر ويمكن حسابهما بالاستناد على التوالي إلى التوصيتين ITU-R P.676 و ITU-R P.530.

وترد قيم أس خسارة المسير  $n$  في الجدول 6.

الجدول 6

معاملات خسارة المسير الاتجاهية لانتشار الموجات المليمترية

أس خسارة المسير $n$	عرض حزمة نصف القدرة (درجات)		نمط البيئة	التردد (GHz)
	هوائي الإرسال Tx	هوائي الاستقبال Rx		
2,21	10	30	مباني حضرية شاهقة الارتفاع	28
2,06	10	30	مباني حضرية منخفضة الارتفاع	
1,9	15,4	15,4	مباني حضرية منخفضة الارتفاع	60

## 2.1.4 الحالات خارج خط البصر

يتم تصور هذه الحالة في الشكل 1 كمسيرات بين D و E.

## 1.2.1.4 مدى الترددات من 800 إلى 2 000 MHz

بالنسبة للحالات خارج خط البصر عندما يكون الهوائيان تحت قمة السطح، يتعين مراعاة الموجات المتعرجة والمنعكسة عند أركان تقاطعات الشوارع (انظر الشكل 3).

$$(13) \quad L_{NLoS2} = -10 \log_{10} \left( 10^{-L_r/10} + 10^{-L_d/10} \right) \quad \text{dB}$$

حيث:

$L_r$ : خسارة مسير الانعكاس معرفة كالتالي:

$$(14) \quad L_r = 20 \log_{10} (x_1 + x_2) + x_1 x_2 \frac{f(\alpha)}{w_1 w_2} + 20 \log_{10} \left( \frac{4\pi}{\lambda} \right) \quad \text{dB}$$

حيث:

$$(15) \quad f(\alpha) = \frac{3,86}{\alpha^{3,5}} \quad \text{dB}$$

حيث:  $\alpha < \pi$  [دائري]  $0,6 < \alpha$

$L_d$ : معدل خسارة مسير الانعراج معرفة كالتالي:

$$(16) \quad L_d = 10 \log_{10} [x_1 x_2 (x_1 + x_2)] + 2D_a - 0,1 \left( 90 - \alpha \frac{180}{\pi} \right) + 20 \log_{10} \left( \frac{4\pi}{\lambda} \right) \quad \text{dB}$$

$$(17) \quad D_a = \left( \frac{40}{2\pi} \right) \left[ \arctan \left( \frac{x_2}{w_2} \right) + \arctan \left( \frac{x_1}{w_1} \right) - \frac{\pi}{2} \right] \quad \text{dB}$$

## 2.2.1.4 مدى الترددات من 2 إلى 16 GHz

يجري اشتقاق نموذج الانتشار من أجل حالات NLoS2 كما جاء وصفها في الفقرة 2.1.3. عندما تكون زاوية المنعطف  $\alpha = \pi/2$  على أساس القياسات في مدى تردد من 2 إلى 16 GHz حيث  $h_1 > h_2$  و  $h_r > w_2$  تصل حتى 10 أمتار (أو رصيف الطريق). ويمكن تقسيم خصائص الخسارة بسبب المسير إلى القسمين: منطقة خسارة المنعطف ومنطقة خسارة NLoS. وتمتد منطقة خسارة المنعطف لمسافة  $d_{corner}$  من النقطة دون حافة شارع LoS بمقدار متر واحد داخل شارع NLoS. وتقع منطقة NLoS بعد منطقة خسارة المنعطف، حيث ينطبق معامل معلمة ( $\beta$ ). ويبدو هذا في شكل منحنى نموذجي في الشكل 4. ولدى استعمال  $x_1$  و  $x_2$  و  $w_1$ ، كما يبدو في الشكل 3، يحتسب فقدان المسير الإجمالي ( $L_{NLoS2}$ ) بعد منطقة المنعطف ( $x_2 > w_1/2 + 1$ ) كما يلي:

$$(18) \quad L_{NLoS2} = L_{LoS} + L_c + L_{att}$$

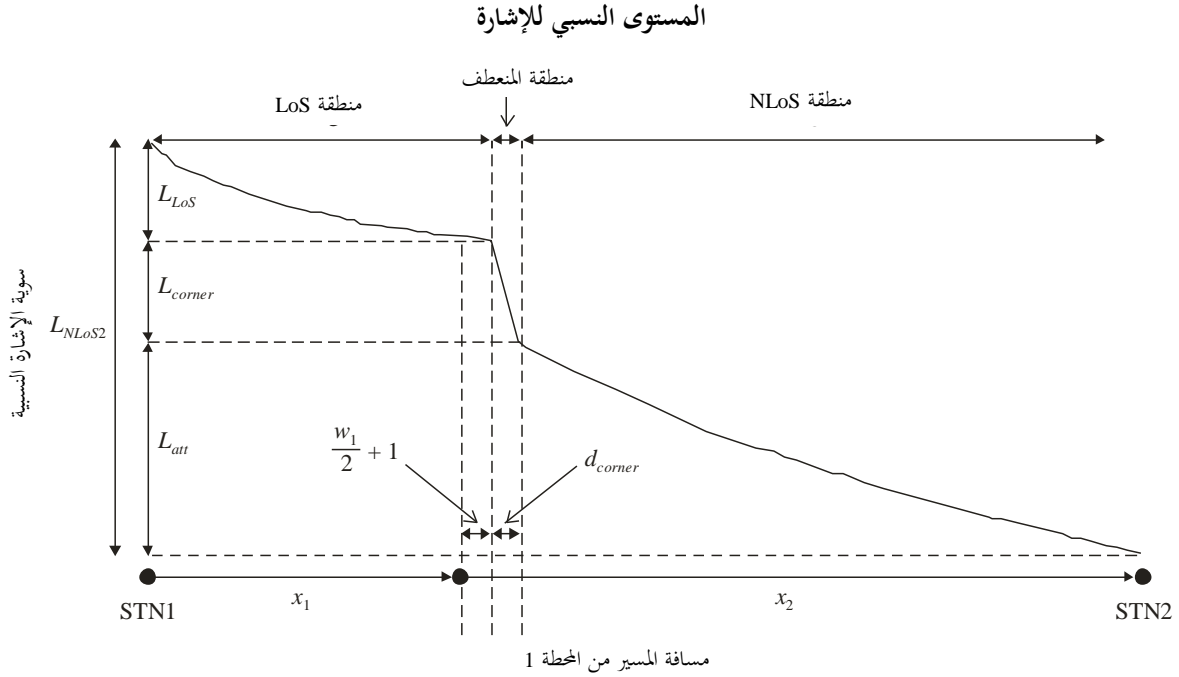
$$(19) \quad L_c = \begin{cases} \frac{L_{corner}}{\log_{10}(1 + d_{corner})} \log_{10}(x_2 - w_1/2) & w_1/2 + 1 < x_2 \leq w_1/2 + 1 + d_{corner} \\ L_{corner} & x_2 > w_1/2 + 1 + d_{corner} \end{cases}$$

$$(20) \quad L_{att} = \begin{cases} 10\beta \log_{10} \left( \frac{x_1 + x_2}{x_1 + w_1/2 + d_{corner}} \right) & x_2 > w_1/2 + 1 + d_{corner} \\ 0 & x_2 \leq w_1/2 + 1 + d_{corner} \end{cases}$$

حيث  $L_{LoS}$  خسارة المسير في الشارع LoS عندما تكون  $x_1 < 20$  m كما جرى حسابها في الفقرة 1.4. وفي المعادلة (19) تعطى  $L_{corner}$  على أنها 20 dB في بيئة حضرية و 30 dB في بيئة سكنية. وتكون  $d_{corner}$  في البيئتين 30 m. وفي المعادلة (20) تعطى  $\beta$  على أنها 6 في كلتا البيئتين.

الشكل 4

الاتجاه النموذجي للانتشار في أخاديد الشوارع عندما تكون المحطة القاعدة منخفضة  
ولمدى تردد من 2 إلى 16 GHz



P.1411-04

وفي البيئة السكنية، لا تزداد خسارة المسير على نفس الوتيرة بازدياد المسافة، ولذا قد تكون معلمة المعامل أدنى من قيمتها في البيئة الحضرية نظراً لوجود الأزقة والشوارع بين المنازل. وعندما يكون هوائي المحطة القاعدة مرتفعاً في خلية كبيرة صغيرة تكون آثار الانعراج فوق قمم أسطح المباني أكبر. ومن ثم، فإن خصائص الانتشار لا تتوقف على خسارة الانعفاف.

## 2.4 نماذج لحالات الانتشار فوق قمم الأسطح

في حالة الانتشار NLoS يمكن أن تصل الإشارات إلى المحطة بآليات الانعراج أو بتعدد المسيرات التي قد تجمع بين آليات الانعراج والانعكاس. ويتناول هذا الفرع نماذج تتعلق بآليات الانعراج.

الانتشار في منطقة حضرية

تعرف نماذج للمسيرين من  $A(h_1)$  إلى  $B(h_2)$  ومن  $D(h_1)$  إلى  $B(h_2)$  على النحو المبين في الشكل 1. والنماذج صالحة لما يلي:

$h_1$ : 4 إلى 50 m

$h_2$ : 1 إلى 3 m

$f$ : 800 إلى 5 000 MHz

2 إلى 16 GHz حيث  $h_r > h_1$  و  $w_2 > 10$  m (أو رصيف)

$d$ : 20 إلى 5 000 m

(يلاحظ أنه على الرغم من أن النموذج صالح حتى 5 km، فإن هذه التوصية معدة لمسافات لا تتجاوز 1 km).

الانتشار في منطقة شبه حضرية

يعرّف النموذج للمسير من A ( $h_1$ ) إلى B ( $h_2$ ) المبين في الشكل 1 والنموذج صالح لما يلي:

$h_r$	: أي ارتفاع بالأمتار
$\Delta h_1$	: 1 إلى 100 m
$\Delta h_2$	: 4 إلى 10 (أقل من $h_r$ ) m
$h_1$	: m $\Delta h_1 + h_r$
$h_2$	: m $\Delta h_2 - h_r$
$f$	: 0,8 إلى 20 GHz
$w$	: 10 إلى 25 m
$d$	: 10 إلى 5 000 m

(يلاحظ أنه على الرغم من أن النموذج صالح حتى 5 km، فإن هذه التوصية معدة لمسافات لا تتجاوز 1 km).

انتشار الموجات المليمترية

لا تؤخذ تغطية الإشارة في الموجات المليمترية في الاعتبار إلا في حالات الانعكاس على خط البصر (LoS) وخارج خط البصر (NLoS) وذلك لارتفاع خسائر الانعراج حيث تجعل العوائق من مسير الانتشار خارج خط البصر (NLoS). وفي هذه الأحوال تكون انعكاسات تعدد المسيرات والانتشار الطريقة الأرحب استخداماً لانتشار الإشارة. وفي المناطق التي تسود فيها الموجة المباشرة والموجة المنعكسة، يسري المدى الترددي ( $f$ ) لنموذج الانتشار في منطقة شبه حضرية (الفقرة 2.2.4) حتى 28 GHz.

#### 1.2.4 المنطقة الحضرية

يكون نموذج الانتشار بالانعراج الناتج عن الحجب المتعدد الوارد فيما يلي صالحاً إذا كانت سطوح المباني متساوية الارتفاع تقريباً. وبافتراض أن ارتفاع سطوح المباني لا يختلف إلا بقيمة أدنى من نصف قطر منطقة فرينل على مسير طوله  $l$  (انظر الشكل 2)، فإن ارتفاع السطوح الذي ينبغي استعماله في النموذج هو متوسط ارتفاع السطوح. وإذا كان الاختلاف أكبر من نصف القطر هذا، يفضل استعمال أعلى المباني على امتداد المسير لحساب الانتشار بالانعراج على حد السكين (انظر التوصية ITU-R P.526) بدلاً من نموذج الحجب المتعدد.

وعندما تكون سطوح المباني متماثلة الارتفاع في النموذج المقترح لحساب خسارة الإرسال في حالة NLoS1 (انظر الشكل 2) تساوي الخسارة بين الهوائيات المتناحية مجموع خسارة الإرسال في الفضاء الحر  $L_{bf}$  والتوهين بالانعراج بين السطوح والشارع  $L_{rts}$  والانخفاض الناتج عن الانعراج بسبب تأثير الحجب المتعدد عبر مختلف صفوف المباني  $L_{msd}$ .

إن التعبيرين  $L_{bf}$  و  $L_{rts}$  غير مرتبطين بارتفاع هوائي المحطة القاعدة في هذا النموذج بينما يتغير  $L_{msd}$  حسب وجود هذا الهوائي عند ارتفاع السطوح أو فوقه أو تحته.

$$(21) \quad L_{NLoS1} = \begin{cases} L_{bf} + L_{rts} + L_{msd} & \text{for } L_{rts} + L_{msd} > 0 \\ L_{bf} & \text{for } L_{rts} + L_{msd} \leq 0 \end{cases}$$

وتعطى خسارة الإرسال في الفضاء الحر بالمعادلة التالية:

$$(22) \quad L_{bf} = 32,4 + 20 \log_{10}(d/1000) + 20 \log_{10}(f)$$

حيث:

$d$ : طول المسير (m)

$f$ : التردد (MHz).

يصف التعبير  $L_{rts}$  اقتران الموجة المنتشرة على طول المسير بتأثير الحجب المتعدد في الشارع الذي تكون فيه المحطة المتنقلة. وهو يراعي عرض الشارع واتجاه محوره.

$$(23) \quad L_{rts} = -8.2 - 10 \log_{10} (w) + 10 \log_{10} (f) + 20 \log_{10} (\Delta h_2) + L_{ori}$$

$$(24) \quad L_{ori} = \begin{cases} -10 + 0,354\varphi & \text{for } 0^\circ \leq \varphi < 35^\circ \\ 2,5 + 0,075(\varphi - 35) & \text{for } 35^\circ \leq \varphi < 55^\circ \\ 4,0 - 0,114(\varphi - 55) & \text{for } 55^\circ \leq \varphi < 90^\circ \end{cases}$$

حيث:

$$(25) \quad \Delta h_2 = h_r - h_2$$

أما  $L_{ori}$  فهو عامل تصحيح اتجاه محور الشارع الذي يراعي تأثير الانعراج بين السطوح والشارع في الشوارع غير المتعامدة باتجاه الانتشار (انظر الشكل 2).

ويعتمد التوهين بالانعراج بسبب الحجب المتعدد من المحطة القاعدة الناتج عن الانتشار عبر صفوف المباني على الارتفاع النسبي لهوائي المحطة القاعدة بالنسبة إلى ارتفاع المباني وعلى زاوية الورد. ومعيار الورد التماسي هو معيار "مسافة الاستقرار"  $d_s$ :

$$(26) \quad d_s = \frac{\lambda d^2}{\Delta h_1^2}$$

حيث (انظر الشكل 2):

$$(27) \quad \Delta h_1 = h_1 - h_r$$

ولحساب  $L_{msd}$  تقارن  $d_s$  بالمسافة  $l$  التي تغطيها المباني. ويستعمل حساب  $L_{msd}$  الإجراء التالي لإزالة أي انقطاع بين مختلف النماذج المستعملة عندما يكون طول المباني أكبر أو أقل من "مسافة الاستقرار".

وتحسب الخسارة الإجمالية لنموذج انعراج الحجب المتعدد بالمعادلة:



$$(28) \quad L_{msd} = \begin{cases} -\tanh\left(\frac{\log(d) - \log(d_{bp})}{\chi}\right) \cdot (L1_{msd}(d) - L_{mid}) + L_{mid} & \text{for } l > d_s \text{ and } dh_{bp} > 0 \\ \tanh\left(\frac{\log(d) - \log(d_{bp})}{\chi}\right) \cdot (L2_{msd}(d) - L_{mid}) + L_{mid} & \text{for } l \leq d_s \text{ and } dh_{bp} > 0 \\ L2_{msd}(d) & \text{for } dh_{bp} = 0 \\ L1_{msd}(d) - \tanh\left(\frac{\log(d) - \log(d_{bp})}{\zeta}\right) \cdot (L_{upp} - L_{mid}) - L_{upp} + L_{mid} & \text{for } l > d_s \text{ and } dh_{bp} < 0 \\ L2_{msd}(d) + \tanh\left(\frac{\log(d) - \log(d_{bp})}{\zeta}\right) \cdot (L_{mid} - L_{low}) + L_{mid} - L_{low} & \text{for } l \leq d_s \text{ and } dh_{bp} < 0 \end{cases}$$

حيث:

$$(29) \quad dh_{bp} = L_{upp} - L_{low}$$

$$(30) \quad \zeta = (L_{upp} - L_{low}) \cdot \upsilon$$

$$(31) \quad L_{mid} = \frac{(L_{upp} + L_{low})}{2}$$

$$(32) \quad L_{upp} = L1_{msd}(d_{bp})$$

$$(33) \quad L_{low} = L2_{msd}(d_{bp})$$

و

$$(34) \quad d_{bp} = |\Delta h_1| \sqrt{\frac{1}{\lambda}}$$

$$\upsilon = [0,0417]$$

$$\chi = [0,1]$$

حيث تحدد خسارة كل من النموذجين  $L1_{msd}(d)$  و  $L2_{msd}(d)$  كما يلي:حساب  $L1_{msd}$  من أجل  $l > d_s$ (يلاحظ أن هذا الحساب أكثر دقة عندما تكون  $d_s \gg l$ .)

$$(35) \quad L1_{msd}(d) = L_{bsh} + k_a + k_d \log_{10}(d / 1000) + k_f \log_{10}(f) - 9 \log_{10}(b)$$

حيث:

$$(36) \quad L_{bsh} = \begin{cases} -18 \log_{10}(1 + \Delta h_1) & \text{for } h_1 > h_r \\ 0 & \text{for } h_1 \leq h_r \end{cases}$$

حد الخسارة ويعتمد على ارتفاع الهوائي:

$$(37) \quad k_a = \begin{cases} 71.4 & \text{for } h_1 > h_r \text{ and } f > 2000 \text{ MHz} \\ 73 - 0.8\Delta h_1 & \text{for } h_1 \leq h_r, f > 2000 \text{ MHz and } d \geq 500 \text{ m} \\ 73 - 1.6\Delta h_1 d / 1000 & \text{for } h_1 \leq h_r, f > 2000 \text{ MHz and } d < 500 \text{ m} \\ 54 & \text{for } h_1 > h_r \text{ and } f \leq 2000 \text{ MHz} \\ 54 - 0.8\Delta h_1 & \text{for } h_1 \leq h_r, f \leq 2000 \text{ MHz and } d \geq 500 \text{ m} \\ 54 - 1.6\Delta h_1 d / 1000 & \text{for } h_1 \leq h_r, f \leq 2000 \text{ MHz and } d < 500 \text{ m} \end{cases}$$

$$(38) \quad k_d = \begin{cases} 18 & \text{for } h_1 > h_r \\ 18 - 15 \frac{\Delta h_1}{h_r} & \text{for } h_1 \leq h_r \end{cases}$$

$$(39) \quad k_f = \begin{cases} -8 & \text{for } f > 2000 \text{ MHz} \\ -4 + 0,7(f/925 - 1) & \text{للمدن متوسطة الحجم والمراكز شبه الحضرية التي تكون فيها كثافة الأشجار} \\ & \text{متوسطة } f \text{ و } 2000 \text{ MHz} \\ -4 + 1,5(f/925 - 1) & \text{للمراكز الحضرية و } f \text{ و } 2000 \text{ MHz} \end{cases}$$

حساب  $L2_{msd}$  عندما  $l < d_s$

في هذه الحالة لا بد من تمييز آخر وفقاً للارتفاعات النسبية للهوائي وقمم أسطح المباني:

$$(40) \quad L2_{msd}(d) = -10 \log_{10} (Q_M^2)$$

حيث:

$$(41) \quad Q_M = \begin{cases} 2.35 \left( \frac{\Delta h_1}{d} \sqrt{\frac{b}{\lambda}} \right)^{0.9} & \text{for } h_1 > h_r + \delta h_u \\ \frac{b}{d} & \text{for } h_1 \leq h_r + \delta h_u \text{ and } h_1 \geq h_r + \delta h_l \\ \frac{b}{2\pi d} \sqrt{\frac{\lambda}{\rho}} \left( \frac{1}{\theta} - \frac{1}{2\pi + \theta} \right) & \text{for } h_1 < h_r + \delta h_l \end{cases}$$

و

$$(42) \quad \theta = \arctan \left( \frac{\Delta h_1}{b} \right)$$

$$(43) \quad \rho = \sqrt{\Delta h_1^2 + b^2}$$

$$(44) \quad \delta h_u = 10^{-\log_{10} \left( \sqrt{\frac{b}{\lambda}} \right) - \frac{\log_{10}(d)}{9} + \frac{10}{9} \log_{10} \left( \frac{b}{2.35} \right)}$$

و

$$(45) \quad \delta h_l = \frac{0,00023b^2 - 0,1827b - 9,4978}{(\log_{10}(f))^{2,938}} + 0,000781b + 0,06923$$

## 2.2.4 المنطقة شبه الحضرية

يبيّن الشكل 2 نموذج انتشار لحالة خلاف خط البصر NLoS1 على أساس بصريات هندسية. وهو يبين أن تكون الموجات الواردة عند المحطة 2 تتغير تبعاً للمسافة بين المحطة 1 والمحطة 2. ولا يمكن لموجة مباشرة أن تصل المحطة 1 إلا عندما تكون المسافة المحطة 1 – المحطة 2 قصيرة جداً. والموجات المنعكسة عدة مرات (مرة أو مرتان أو ثلاث مرات)، والتي تتمتع بسوية قوية نسبياً، يمكنها أن تصل إلى المحطة 2 عندما تكون المسافة الفاصلة المحطة 1 – المحطة 2 قصيرة نسبياً. وعندما تكون المسافة المحطة 1 – المحطة 2 طويلة لا يمكن للموجات المنعكسة عدة مرات أن تصل، ولا تصل إلى المحطة 2 سوى الموجات المنعكسة عدة مرات، والتي لها سوية ضعيفة إلى جانب سوية الموجات المنعرجة من أسطح المباني. وعلى أساس آليات الانتشار هذه، يمكن تقسيم الخسارة الناجمة عن المسافة بين الهوائيات المتناحية إلى ثلاث مناطق من حيث هيمنة الموجات الواردة إلى المحطة 2. وهي المناطق التي تهيمن عليها الموجة المباشرة والموجة المنعكسة والموجة المنعرجة. ويعبر عن الخسارة في كل من هذه المناطق كما يلي اعتماداً على البصريات الهندسية.

$$(46) \quad L_{NLoS1} = \begin{cases} 20 \cdot \log_{10} \left( \frac{4\pi d}{\lambda} \right) & \text{for } d < d_0 & \text{(منطقة تهيمن عليها موجات مباشرة)} \\ L_{0n} & \text{for } d_0 \leq d < d_{RD} & \text{(منطقة تهيمن عليها موجات منعكسة)} \\ 32,1 \cdot \log_{10} \left( \frac{d}{d_{RD}} \right) + L_{d_{RD}} & \text{for } d \geq d_{RD} & \text{(منطقة تهيمن عليها موجات منعرجة)} \end{cases}$$

حيث:

$$(47) \quad L_{0n} = \begin{cases} L_{d_k} + \frac{L_{d_{k+1}} - L_{d_k}}{d_{k+1} - d_k} \cdot (d - d_k) & \text{when } d_k \leq d < d_{k+1} < d_{RD} \\ & (k = 0, 1, 2, \dots) \\ L_{d_k} + \frac{L_{d_{RD}} - L_{d_k}}{d_{RD} - d_k} \cdot (d - d_k) & \text{when } d_k \leq d < d_{RD} < d_{k+1} \end{cases}$$

$$(48) \quad d_k = \frac{1}{\sin \varphi} \cdot \sqrt{B_k^2 + (h_1 - h_2)^2}$$

$$(49) \quad L_{d_k} = 20 \cdot \log_{10} \left\{ \frac{4\pi d_{kp}}{0,4^k \cdot \lambda} \right\}$$

$$(50) \quad d_{RD}(f) = (0,25 \cdot d_3 + 0,25 \cdot d_4 - 0,16 \cdot d_1 - 0,35 \cdot d_2) \cdot \log_{10}(f) \\ + 0,25 \cdot d_1 + 0,56 \cdot d_2 + 0,10 \cdot d_3 + 0,10 \cdot d_4 \\ (0,8 \text{ GHz} \leq f \leq 20 \text{ GHz})$$

$$(51) \quad L_{d_{RD}} = L_{d_k} + \frac{L_{d_{k+1}} - L_{d_k}}{d_{k+1} - d_k} \cdot (d_{RD} - d_k) \quad (d_k \leq d_{RD} \leq d_{k+1})$$

$$(52) \quad d_{kp} = \frac{1}{\sin \varphi_k} \cdot \sqrt{A_k^2 + (h_1 - h_2)^2}$$

$$(53) \quad A_k = \frac{w \cdot (h_1 - h_2) \cdot (2k + 1)}{2 \cdot (h_r - h_2)}$$

$$(54) \quad B_k = \frac{w \cdot (h_1 - h_2) \cdot (2k + 1)}{2 \cdot (h_r - h_2)} - k \cdot w$$

$$(55) \quad \varphi_k = \tan^{-1} \left( \frac{B_k}{A_k} \cdot \tan \varphi \right)$$

### 3.4 نماذج الانتشار بين المطاريف الواقعة بين ارتفاع قمم أسطح المباني وقرب مستوى الشارع

تُرمى النماذج الموصوفة أدناه إلى حساب خسارة الإرسال الأساسية بين مطارين على ارتفاع منخفض في بيئات حضرية. وهذه الحالة متصورة في الشكل 1 كمسيرات بين D و F، أو D و E، أو B و E، أو E و F. ويرد وصف النموذج العام للموقع في الفقرة 1.3.4. ويرد وصف النموذج الخاص بموقع ضمن أحاديدي الشوارع في الفقرة 2.3.4 ونموذج البيئات السكنية في الفقرة 3.3.4. ويوصى بهذا النموذج من أجل الانتشار بين المطاريف منخفضة الارتفاع حيث يكون ارتفاع هوائي كلا المطارين قريب من سوية الشارع وأخفض كثيراً من ارتفاع أسطح المباني، ولكنها غير محددة خلاف ذلك. وهو نموذج متبادل بالنسبة للمرسل والمستقبل.

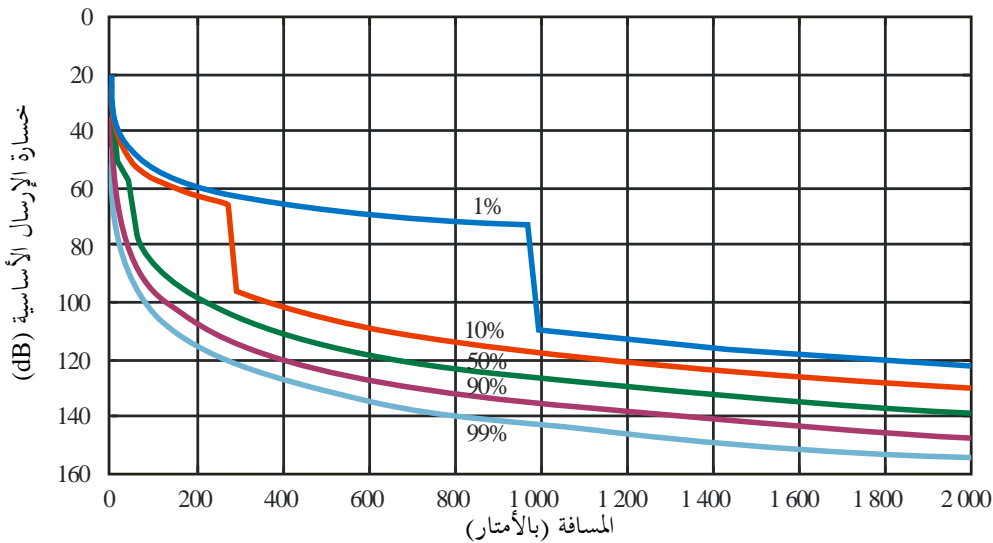
#### 1.3.4 النموذج العام للموقع

يشمل هذا النموذج مناطق خط البصر (LoS) وخلاف خط البصر (NLoS) على السواء، ويرسم التناقص السريع في سوية الإشارة الملحوظ عند المنعطف بين منطقتي LoS و NLoS. ويحتوي النموذج على إحصاءات عن تغاير الموقع في المنطقتين ويعطي نموذجاً إحصائياً لمسافة الانعطاف بين المنطقتين. ويبيّن الشكل 5 مناطق كل من LoS و NLoS والانعطاف كما يبيّن التغاير الإحصائي الذي يتنبأ به النموذج.

ويصلح هذا النموذج للترددات في مدى 300-3000 MHz. ويعتمد النموذج على قياسات أجريت في نطاق الموجات المترية (UHF) وارتفاع هوائيات يتراوح بين 1,9 و 3,0 m فوق الأرض ومسافات مرسل-مستقبل تصل حتى 3000 m.

الشكل 5

منحنيات خسارة الإرسال الأساسية التي لا يتم تجاوزها بالنسبة إلى 1 و 10 و 50 و 90 و 99% من المواقع (التردد = 400 MHz، منطقة شبه حضرية)



والمعلّات المطلوبة هي التردد  $f$  (MHz) والمسافة  $d$  بين المطرافين (بالمتر).

الخطوة 1: تحسب القيمة المتوسطة لخسارة خط البصر:

$$(56) \quad L_{LoS}^{median}(d) = 32,45 + 20 \log_{10} f + 20 \log_{10}(d/1000)$$

الخطوة 2: يحسب تصويب موقع LoS من أجل النسبة المئوية المطلوبة للموقع  $p$  (%):

$$(57) \quad \Delta L_{LoS}(p) = 1,5624\sigma \left( \sqrt{-2 \ln(1-p/100)} - 1,1774 \right) \quad \text{with } \sigma = 7 \text{ dB}$$

ويمكن بدلاً من ذلك استعمال قيم تصويب LoS من أجل  $p = 1$  و  $10$  و  $50$  و  $90$  و  $99$ % الواردة في الجدول 7.

الخطوة 3: يضاف تصويب موقع LoS بإزالة قيمة متوسط خسارة LoS:

$$(58) \quad L_{LoS}(d, p) = L_{LoS}^{median}(d) + \Delta L_{LoS}(p)$$

الخطوة 4: تحسب القيمة المتوسطة لخسارة NLoS:

$$(59) \quad L_{NLoS}^{median}(d) = 9,5 + 45 \log_{10} f + 40 \log_{10}(d/1000) + L_{urban}$$

تتوقف قيمة  $L_{urban}$  على الفئة الحضرية وتكون 0 dB لمنطقة شبه حضرية و 6,8 dB لمنطقة حضرية و 2,3 dB لمنطقة حضرية كثيفة بالمباني العالية.

الخطوة 5: يضاف تصويب موقع NLoS لنسبة المواقع المطلوبة  $p$  (%):

$$(60) \quad \Delta L_{NLoS}(p) = \sigma N^{-1}(p/100) \quad \text{with } \sigma = 7 \text{ dB}$$

(.)  $N^{-1}$  هي مقلوب دالة التوزيع التراكمي الاعتيادي. وثمة تقريب لهذه الدالة، يصلح لقيمة  $p$  بين 1 و 99%، يعطى بموجب دالة تباير الموقع  $Q_i(x)$  في التوصية ITU-R P.1546. ويمكن بدلاً من ذلك استعمال قيم تصويب NLoS من أجل  $p = 1$  و  $10$  و  $50$  و  $90$  و  $99$ % الواردة في الجدول 7.

الجدول 7

تصويبات تباير مواقع LoS و NLoS

$p$ (%)	$\Delta L_{LoS}$ (dB)	$\Delta L_{NLoS}$ (dB)	$d_{LoS}$ (m)
1	11,3–	16,3–	976
10	7,9–	9,0–	276
50	0,0	0,0	44
90	10,6	9,0	16
99	20,3	16,3	10

الخطوة 6: يضاف تصويب موقع NLoS بإزالة قيمة متوسط خسارة NLoS:

$$(61) \quad L_{NLoS}(d, p) = L_{NLoS}^{median}(d) + \Delta L_{NLoS}(p)$$

الخطوة 7: تحسب المسافة  $d_{LoS}$ ، حيث يكون كسر LoS،  $F_{LoS}$ ، مساوياً  $p$ ، من أجل النسبة المئوية المطلوبة للموقع  $p$  (%):

$$(62) \quad \begin{aligned} d_{LoS}(p) &= 212[\log_{10}(p/100)]^2 - 64 \log_{10}(p/100) & \text{if } p < 45 \\ d_{LoS}(p) &= 79,2 - 70(p/100) & \text{otherwise} \end{aligned}$$

وقيمة  $d_{LoS}$  مقابل  $p = 1$  و 10 و 50 و 90 و 99% واردة في الجدول 6. ولم يتم اختبار هذا النموذج عندما  $p > 0,1$ %. وقد حُصل على الإحصاءات من مدينتين في المملكة المتحدة وقد تختلف في بلدان أخرى. وبديلاً لذلك، إذا عرفت مسافة المنعطف في حالة معينة عندئذ توضع القيمة  $d_{LoS}(p)$  إزاء هذه المسافة.

الخطوة 8: عندها تكون خسارة المسير عند المسافة  $d$  كما يلي:

$$أ) \quad \text{إذا كانت } d_{LoS} > d \text{، عندئذ } L_{LoS}(d, p) = L(d, p)$$

$$ب) \quad \text{إذا كانت } w + d_{LoS} < d \text{، عندئذ } L_{NLoS}(d, p) = L(d, p)$$

ج) خلاف ذلك يجري الاستكمال الداخلي خطياً بين قيمتين  $L_{LoS}(d_{LoS}, p)$  و  $L_{NLoS}(d_{LoS} + w, p)$  كما يلي:

$$L_{LoS} = L_{LoS}(d_{LoS}, p)$$

$$L_{NLoS} = L_{NLoS}(d_{LoS} + w, p)$$

$$L(d, p) = L_{LoS} + (L_{NLoS} - L_{LoS})(d - d_{LoS})/w$$

وقد أدخلت قيمة العرض  $w$  لتوفير منطقة انتقالية بين LoS و NLoS. وتبدو المنطقة الانتقالية هذه في البيانات وتكون قيمتها عموماً  $w = 20$  m.

### 2.3.4 النموذج الخاص بموقع في بيئات حضرية

يتكون هذا النموذج الخاص بموقع من حالات LoS و NLoS بانعطاف واحد و NLoS بانعطافين في بيئات شبكة شوارع مستقيمة. ويستند هذا النموذج إلى بيانات القياس على الترددات: 430 و 750 و 905 و 1 834 و 2 400 و 3 705 و 4 860 MHz بارتفاعات هوائي تتراوح ما بين 1,5 و 4,0 m فوق سطح الأرض. وتصل المسافة القصوى بين طرفين إلى 1 000 m.

#### 1.2.3.4 حالة خط البصر (LoS)

تصوّر هذه الحالة كمسير بين B و E، أو D و F في الشكل 1. وخسارة الانتشار هي نفسها المذكورة في الفقرة 1.1.4

#### 2.2.3.4 حالات الخروج عن خط البصر (NLoS)

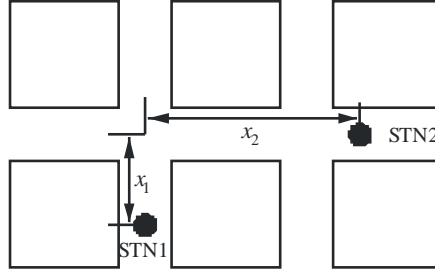
تقابل ظروف الخروج عن خط البصر (NLoS) مسيرات F-E و E-D بارتفاعي L2 و L3 لهوائي في البيئات الحضرية.

انتشار خارج عن خط البصر (NLoS) بانعطاف واحد

تصوّر في الشكل 6 حالة خروج عن خط البصر (NLoS) بانعطاف واحد بين المحطة 1 والمحطة 2 بسبب زاوية على طول المسار بين المحطة 1 والمحطة 2. ويُرمز للمسافة بين المنعطف والمحطة 1 بالرمز  $x_1$  ويُرمز للمسافة بين المنعطف والمحطة 2 بالرمز  $x_2$ .

## الشكل 6

حالة خروج عن خط البصر (NLoS) بانعطاف واحد بين المحطة 1 والمحطة 2



P.1411-06

ويمكن حساب خسارة المسير في هذه الحالة كما يلي:

$$(63) \quad L_{1-Turn} = L_{LoS} + 10 \log_{10} \frac{x_1 x_2}{x_1 + x_2} - 20 \log_{10} S_1 \text{ (dB)}, \quad x_2 > \max(S_1^2, d_{corner})$$

حيث  $L_{LoS}$  هي خسارة المسير بمسافة  $d = x_1 + x_2$ ، على النحو المحسوب في الفقرة 1.1.4، و  $S_1$  هي معلمة الانتشار/الانعراج المحسوبة كما يلي:

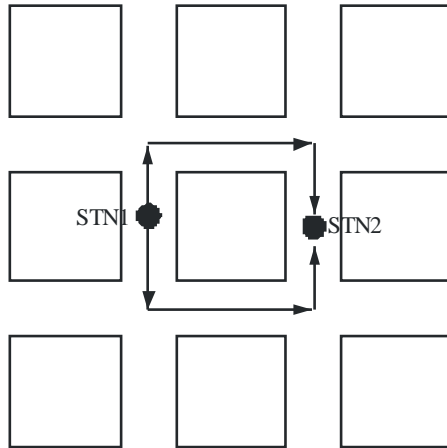
$$(64) \quad S_1 = (3,45 \times 10^4) \cdot f^{-0.46}$$

حيث وحدة تردد التشغيل  $f$  هي Hz. ويتم الحصول على هذه العلاقة بين  $S_1$  و  $f$  بالاحتواء التراجعي المناسب مع بيانات القياس في تردد يتراوح بين 430 MHz إلى 4860 MHz.  $d_{corner}$  هو متغير بيئي تحدده تخطيطات الشوارع (بما في ذلك عروض الشوارع وطول فترة خط البصر  $x_1$ ) لحساب الحد الأدنى لمدى المسافة الصالح للمعادلة (63). وكمثال على ذلك في الفقرة 2.2.1.4، يمكن استخدام 30 m في المناطق الحضرية. ويمكن تحديد خسارة المسير لفترة الانتقال عبر المنعطف، أي  $0 \leq x_2 \leq \max(S_1^2, d_{corner})$ ، بالاستكمال الداخلي بين خسارة المسير في موضع انتهاء خط البصر (أي  $x_2 = 0$ ) وذلك في  $x_2 = \max(S_1^2, d_{corner})$ .

انتشار خارج عن خط البصر (NLoS) بانعطافين

## الشكل 7

مسيرا انتقال (خط متواصل وخط متقطع) لوصلة خارجة عن خط البصر (NLoS) بانعطافين



P.1411-07

على عكس الوصلات الخارجة عن خط البصر (NLoS) بانعطاف واحد، يمكن إنشاء مسيرات متعددة لمسار انتقال وصلة خارجة عن خط البصر (NLoS) بانعطافين ويظهر مثال على ذلك في الشكل 7. وهكذا، فإن كسب قدرة الإشارة المستقبلية (من المحطة 1 إلى المحطة 2) يُحتسب باعتبار جميع مسيرات مسار بانعطافين. وبما أن كسب القدرة المستقبلية وخسارة المسير على علاقة لوغاريتمية عكسية، تمكن كتابة كسب القدرة المستقبلية كما يلي:

$$(65) \quad \frac{1}{10^{L_{2-Turn}/10}} = \sum_n \frac{1}{10^{L_{2-Turn,n}/10}}$$

حيث  $L_{2-Turn}$  هي خسارة المرور الإجمالية من المحطة 1 إلى المحطة 2، وترمز  $L_{2-Turn,n}$  إلى خسارة المسير على طول مسير مسار بانعطافين ذي الترتيب  $n$ . وبالتالي،

$$(66) \quad L_{2-Turn} = -10 \log_{10} \sum_n \frac{1}{10^{L_{2-Turn,n}/10}} \quad \text{dB}$$

ولحساب خسارة المسير على طول مسير مسار ذي الترتيب  $n$ ، أي  $L_{2-Turn,n}$  في المعادلة (66)، يُنظر في حالة الخروج عن خط البصر (NLoS) بانعطافين المبينة في الشكل 8. وتتميز حالة مسير الوصلة بثلاثة مكونات مسافة:  $x_1$  و  $x_2$  و  $x_3$ ، حيث:

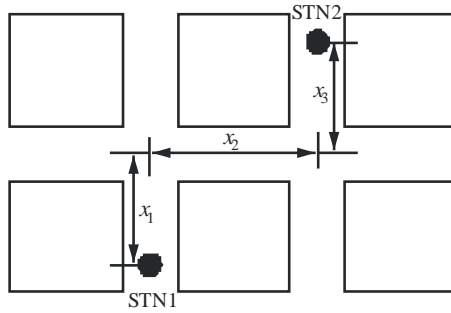
$x_1$  يدل على المسافة بين المحطة 1 والمنعطف الأول،

$x_2$  يدل على المسافة بين المنعطف الأول والمنعطف الثاني،

$x_3$  يدل على المسافة بين المنعطف الثاني والمحطة 2.

### الشكل 8

وصلة خارجة عن خط البصر (NLoS) بانعطافين بين المحطة 1 والمحطة 2



P.1411-08

وتُحسب خسارة مسير الانتشار بين المحطة 1 والمحطة 2 كما يلي:

$$(67) \quad L_{2-Turn,n} = L_{LoS} + 10 \log_{10} \frac{x_{1,n} x_{2,n} x_{3,n}}{x_{1,n} + x_{2,n} + x_{3,n}} - 20 \log_{10} S_1 - 20 \log_{10} S_2 \quad x_{3,n} > \max(S_2^2, d_{corner})$$

حيث  $L_{LoS}$  هي خسارة المسير بمسافة  $d = x_{1,n} + x_{2,n} + x_{3,n}$ ، على النحو المحسوب في الفقرة 1.1.4، و  $S_1$  هي معلمة الانتشار/الانعراج لانعطاف المنعطف الأول المحصّلة بالمعادلة (64) و  $S_2$  هي معلمة مؤثر انعطاف المنعطف الثاني المحسوبة كما يلي:

$$(68) \quad S_2 = 0,54 f^{0,076}$$

على غرار  $S_1$ ، يتم الحصول على العلاقة بين  $S_2$  و  $f$  (بوحدة Hz) باحتواء تراجمي مع بيانات القياس في تردد يتراوح بين 430 MHz إلى 860 MHz. ويمكن تحديد  $d_{corner}$  على نحو مماثل كما في حالات الخروج عن خط البصر (NLoS) بانعطاف واحد. ويمكن



أيضاً تحديد خسارة المسير لفترة الانتقال عبر المنعطف، أي  $0 \leq x_{3,n} \leq \max(S_2^2, d_{corner})$  ، بالاستكمال الداخلي بين خسارة المسير في موضع انتهاء الخروج عن خط البصر (NLoS) بانعطاف واحد (أي  $x_{3,n} = 0$ ) وموضع  $x_{3,n} = \max(S_2^2, d_{corner})$ .

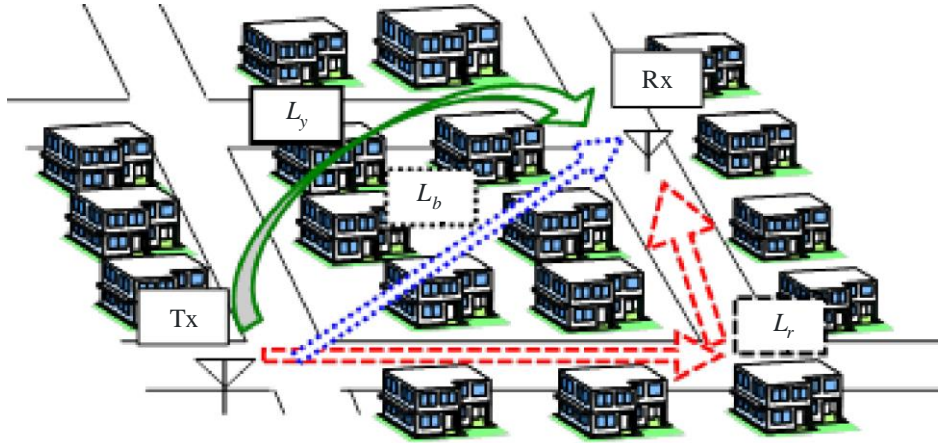
### 3.3.4 نموذج خاص بموقع في البيئات السكنية

يوضح الشكل 9 نموذج انتشار يتنبأ بخسارة كامل المسير  $L$  بين مطرافين منخفضي الارتفاع في البيئات السكنية التي تمثلها المعادلة (69) باستخدام خسارة المسير على طول طريق،  $L_r$ ، وخسارة المسير بين البيوت،  $L_b$ ، وخسارة المسير جراء الانتشار فوق أسطح المباني،  $L_v$ . وتُحسب الخسارات  $L_r$  و  $L_b$  و  $L_v$  على التوالي من المعادلات (70)–(72)، و (73)، و (74)–(79). والمجالات التي ينطبق عليها النموذج هي مناطق LoS و NLoS على حد سواء التي تتضمن مجالات فيها منعطفان أو أكثر. وتغطي خسارة المسير على طول الطريق،  $L_r$ ، على مقربة نسبية من المرسل حيث يقل عدد المنعطفات، وتغطي خسارة المسير بين البيوت،  $L_b$ ، بازدياد المسافة بين المطرافين لأن خسارة المسير على طول الطريق تزداد بزيادة عدد المنعطفات. وتغطي خسارة المسير جراء الانتشار فوق أسطح المباني،  $L_v$ ، على مبعده نسبية من المرسل حيث تزداد خسارة المسير بين البيوت بتعدد تدرج المباني والبيوت.

ويوصي بهذا نموذج للترددات في المدى 2-26 GHz. وتصل المسافة القصوى بين مطرافين،  $d$ ، إلى 1 000 m. ويتراوح المدى المطبق لزاوية الطريق بين 0 و 90 درجة. ويُضبط المدى المطبق لارتفاع هوائي المطراف ما بين 1,2 m و  $h_{Bmin}$ ، حيث  $h_{Bmin}$  هو ارتفاع أخفض مبنى في المنطقة (6 m عادةً لبيت مستقل في منطقة سكنية).

الشكل 9

نموذج انتشار لمسيرات بين مطرافين تقع تحت ارتفاع سطح مبنى



P.1411-09

$$(69) \quad L = -10 \log(1/10^{(L_r/10)} + 1/10^{(L_b/10)} + 1/10^{(L_v/10)})$$

$$(70) \quad L_r = \begin{cases} L_{rbc} & (\text{before corner}) \\ L_{rac} & (\text{after corner}) \end{cases}$$

$$(71) \quad L_{rbc} = 20 \log(4\pi d / \lambda)$$

$$(72) \quad L_{rac} = L_{rbc} + \sum_i (7,18 \log(\theta_i) + 0,97 \log(f) + 6,1) \cdot \left\{ 1 - \exp\left(-3,72 \cdot 10^{-5} \theta_i x_{1i} x_{2i}\right) \right\}$$

$$(73) \quad L_b = 20 \log(4\pi d / \lambda) + 30,6 \log(d / R) + 6,88 \log(f) + 5,76$$

$$(74) \quad L_v = 20 \log(4\pi d / \lambda) + L_1 + L_2 + L_c$$

$$(75) \quad L_1 = 6,9 + 20 \log \left( \sqrt{(v_1 - 0.1)^2 + 1} + v_1 - 0.1 \right)$$

$$(76) \quad L_2 = 6,9 + 20 \log \left( \sqrt{(v_2 - 0.1)^2 + 1} + v_2 - 0.1 \right)$$

$$(77) \quad v_1 = (h_{bTx} - h_{Tx}) \sqrt{\frac{2}{\lambda} \left( \frac{1}{a} + \frac{1}{b} \right)}$$

$$(78) \quad v_2 = (h_{bRx} - h_{Rx}) \sqrt{\frac{2}{\lambda} \left( \frac{1}{b} + \frac{1}{c} \right)}$$

$$(79) \quad L_c = 10 \log \left[ \frac{(a+b)(b+c)}{b(a+b+c)} \right]$$

وفيما يلي المعلمات ذات الصلة بهذا النموذج:

- $d$ : المسافة بين مطرافين (m)
- $\lambda$ : طول الموجة (m)
- $f$ : التردد (GHz)
- $\theta_i$ : زاوية الطريق في المنعطف رقم  $i$  (بالدرجات)
- $x_{1i}$ : مسافة الطريق من المرسل إلى المنعطف رقم  $i$  (m)
- $x_{2i}$ : مسافة الطريق من المنعطف رقم  $i$  إلى المرسل (m)
- $R$ : متوسط المسافة المرئية (m)
- $h_{bTx}$ : ارتفاع أقرب مبنى من المرسل في اتجاه المستقبل (m)
- $h_{bRx}$ : ارتفاع أقرب مبنى من المستقبل في اتجاه المرسل (m)
- $h_{Tx}$ : ارتفاع هوائي المرسل (m)
- $h_{Rx}$ : ارتفاع هوائي المستقبل (m)
- $a$ : المسافة بين المرسل وأقرب مبنى من المرسل (m)
- $b$ : المسافة بين أقرب المباني من المرسل والمستقبل (m)
- $c$ : المسافة بين المستقبل وأقرب مبنى من المستقبل (m)

ويوضح الشكلان 10 و 11 أذناه الهندسات والمعلومات على التوالي. ويُحسب متوسط المسافة المرئية  $R$  بالمعادلات (80)–(83). وفي هذه المعادلات،  $n$  هي كثافة البناء (المباني/km<sup>2</sup>)، و  $m$  هو متوسط ارتفاع المبنى من المباني التي يقل علوها عن 3 طوابق (m)، و  $l$  هو أدنى ارتفاع لمبنى، ويبلغ عادةً 6 (m)، و  $l_3$  هو ارتفاع مبنى من 3 طوابق، ويبلغ عادةً 12 (m).

$$(80) \quad R = \frac{1000\gamma}{nw_p(1 - e^{-\gamma})} \exp\left[\frac{h_{Rx} - l}{m - l}\right]$$

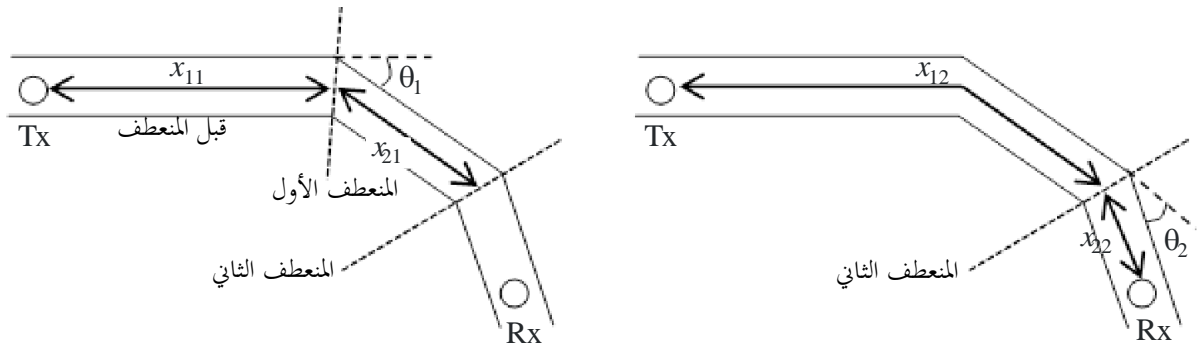
$$(81) \quad w_p = \frac{4}{\pi} w_0 \left\{ 1 - \frac{\alpha(1 - e^{-\delta\gamma})}{\delta^2(1 - e^{-\gamma})} \exp[-\beta h_{Rx}] \right\}$$

$$(82) \quad \gamma = \frac{l_3 - h_{Rx}}{m - l}, \quad \delta = 1 + \beta(m - l)$$

$$(83) \quad w_0 = 15 [m], \quad \alpha = 0.55, \quad \beta = 0.18[m^{-1}]$$

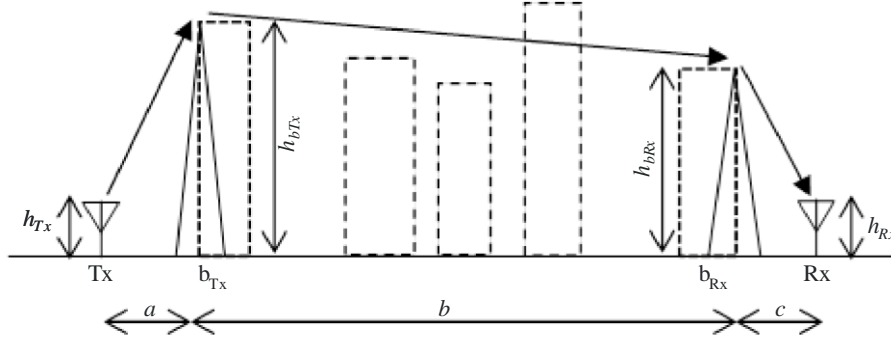
الشكل 10

هندسة الطريق ومعلوماته (مثال على منعطفين)



الشكل 11

مشهد جانبي لهندسة مبنى ومعلماته



P.1411-11

#### 4.4 معلومات مبدئية تستعمل لإجراء الحسابات المتعلقة بأي موقع عموماً

إذا كانت البيانات المتعلقة بمبكل المباني والشوارع غير معروفة (الحالات المتصلة بأي موقع عموماً)، يوصى باستعمال القيم المبدئية التالية:

$$h_r = 3 \times (\text{عدد الطوابق}) + \text{ارتفاع السطح (m)}$$

$$\text{ارتفاع السطح} = 3 \text{ m للسطوح المائلة}$$

$$= 0 \text{ m للسطوح المنبسطة}$$

$$w = b/2$$

$$b = 20 \text{ إلى } 50 \text{ m}$$

$$\varphi = 90^\circ$$

#### 5.4 خسارات أخرى

##### 1.5.4 تأثير الغطاء النباتي

لتأثيرات الانتشار من خلال الغطاء النباتي (الأشجار أساساً) أهمية في عملية التنبؤ بالانتشار عبر مسيرات قصيرة خارج المباني. ويمكن تحديد آليتين أساسيتين للانتشار:

- الانتشار عبر الأشجار (لا من حولها ولا من فوقها)؛
- الانتشار فوق الأشجار.

تسود الآلية الأولى عندما يكون الهوائيان دون قمة الأشجار وتكون المسافة عبر الأشجار قصيرة؛ بينما تغلب الآلية الثانية عندما يكون أحد الهوائيين أعلى من قمة الأشجار. ويتأثر التوهين بشدة بالانتشار عبر عدة مسيرات الناتج عن انعراج طاقة الإشارة فوق الأشجار وعبرها على حد سواء. وفيما يتعلق بالانتشار عبر الأشجار، فإن ظاهرة التوهين النوعي بسبب الغطاء النباتي ورد بحثها في التوصية ITU-R P.833. وعندما يتم الانتشار فوق الأشجار يكون الانعراج الأسلوب الرئيسي للانتشار فوق حواف الأشجار القريبة من الهوائي المنخفض. ويمكن نمذجة أسلوب الانتشار هذا ببساطة باستعمال نموذج مثالي للانعراج على حد السكين (انظر التوصية ITU-R P.526)، على الرغم من أن هذا النموذج قد ينتقص من قدرة المجال لأنه يهمل تأثير الانتشار المتعدد بسبب قمم الأشجار وهو آلية يمكن نمذجتها بنظرية النقل الإشعاعي.

## 2.5.4 خسارة اختراق المباني

تنبغي مراعاة خسارة الاختراق عند تقييم التغطية الراديوية من نظام خارج المبنى إلى مطراف في داخله. وهذه الخسارة مهمة أيضاً لدراسة مشاكل التداخل بين الأنظمة خارج المباني وداخلها.

ويمكن الاطلاع على التعاريف والنماذج النظرية والنتائج التجريبية المتعلقة بخسارة اختراق المباني في التوصية ITU-R P.2040.

## 5 نماذج تعدد المسيرات

تقدم التوصية ITU-R P.1407 وصفاً للانتشار عبر مسيرات متعددة وتعريفات لبعض المصطلحات.

## 1.5 مواصفة التأخير

## 1.1.5 تمدد التأخير في بيئات الانتشار فوق قمم أسطح المباني

تم تحديد خصائص تمدد التأخير عبر مسيرات متعددة في حالي LoS و NLoS في بيئة حضرية تتميز بمبان مرتفعة فيما يتعلق بخلايا صغيرة (معرفة في الجدول 3) بالاستناد إلى البيانات المقيسة عند MHz 1 980-1 920 و MHz 2 170-2 110 و MHz 3 750-3 650 باستخدام هوائيات شاملة الاتجاهات. وتعطى القيمة المتوسطة لجذر متوسط التربيع لتمدد التأخير  $S$  في هذه البيئة بالصيغة التالية:

$$(84) \quad S_u = \exp(A \cdot L + B) \quad \text{ns}$$

حيث  $A$  و  $B$  عبارة عن معامل قيمة جذر متوسط تربيع وقت الانتشار وتدل  $L$  على خسارة المسير (dB). يعرض الجدول 8 القيم النموذجية للمعاملات بالنسبة لمسافات تتراوح بين 100 m و كيلومتر واحد استناداً إلى قياسات أجريت في مناطق حضرية.

## الجدول 8

## القيم النموذجية للمعاملات بالنسبة لجذر متوسط تربيع تمدد التأخير

معاملات جذر متوسط تربيع تمدد التأخير		ظروف القياس		
B	A	المدى (m)	التردد (GHz)	المنطقة
2,091	0,031	1 000-100	MHz 3 750-3 650	حضرية
2,3	0,038	1 000-100	MHz 1 980-1 920 MHz 2 170-2 110	

واستخلصت من هذه القياسات توزيعات خصائص امتداد تمدد التأخير عبر عدة مسيرات بالنسبة للنطاق 3,7 GHz في بيئة حضرية لقيمتي ارتفاع هوائي المحطة 1، 40 و 60 m وارتفاع هوائي المحطة المتنقلة 2، 2 m. كما استخلصت من القياسات توزيعات خصائص امتداد وقت الانتشار عبر مسيرات متعددة عند النطاق 3,7 GHz وعند النطاق 5,2 GHz في بيئة شبه حضرية وارتفاع هوائي المحطة 1 قدره 20 m عند قيمتين لارتفاع هوائي المحطة 2 قدرهما 2,0 و 2,8 m. ويعرض الجدول 9 قيم جذر متوسط التربيع لتمدد التأخير المقاسة عند ترددات من 1,9 GHz إلى 5,8 GHz في الحالتين اللتين يبلغ فيهما الاحتمال التراكمي 50% و 95%.

الجدول 9

القيم النموذجية لجذر متوسط التربيع لامتداد وقت الانتشار<sup>(1)</sup> <sup>(2)</sup>

جذر متوسط التربيع لامتداد وقت الانتشار (نانوثانية)		ظروف القياس					
%95	%50	المدى (m)	ارتفاع الهوائي		التردد (GHz)	السيناريو	المنطقة
			$h_2$ (m)	$h_1$ (m)			
1490	490	1 000-100	1,7	46	2,1-1,9		حضرية شاهقة الارتفاع <sup>(1)</sup>
469	158	1 000-200	1	12	2,5		شبه حضرية <sup>(2)</sup>
461	208	1 000-100	2	100	2,5	LoS	حضرية شاهقة الارتفاع <sup>(1)</sup>
513	407					NLoS	
408	232	1 000-100	2	60	3,7		حضرية <sup>(1)</sup>
357	121	1 000-100	2	40			
542	125	1 000-100	2	20	3,7		شبه حضرية <sup>(1)</sup>
577	189	1 000-100	2,8	20	5,2		
493	161	1 000-200	1	12	3,5		شبه حضرية <sup>(2)</sup>
415	168	1 000-200	1	12	5,8		

(1) استعملت قيمة العتبة البالغة 30 dB لحساب جذر متوسط التربيع لتمدد التأخير.

(2) استعملت قيمة العتبة البالغة 20 dB لحساب جذر متوسط التربيع لتمدد التأخير. وجرت القياسات بهوائيات اتجاهية (عرض حزمة 120 درجة في اتجاه السم عند 5,8 GHz و 30 درجة عند 2,5 GHz و 3,5 GHz) وهوائيات شاملة الاتجاهات عند المستقبل. وبلغت الاستبانة الزمنية للتأخير 100 ns.

### 2.1.5 تمدد التأخير في بيئات الانتشار تحت قمم أسطح المباني

#### 1.2.1.5 حالة هوائي شامل الاتجاهات

حددت خصائص تمديد وقت الانتشار عبر مسيرات متعددة في حالة استعمال هوائي شامل الاتجاهات على خط البصر (LoS) في بيئة حضرية مرتفعة المباني في وجود خلايا صغيرة وخلايا دقيقة لمناطق حضرية كثيفة (انظر الجدول 3) استناداً إلى البيانات المقیسة عند ترددات تتراوح بين 2,5 GHz و 15,75 GHz ومسافات تتراوح بين 50 و 400 m. وتتبع قيمة جذر متوسط التربيع لامتداد وقت الانتشار  $S$  عند المسافة  $d$  بالأمطار توزيعاً عادياً وتعطى القيمة المتوسطة بالصيغة التالية:

$$(85) \quad a_s = C_a d^{\gamma_a} \quad \text{ns}$$

ويعطى الانحراف المعياري بالصيغة التالية:

$$(86) \quad \sigma_s = C_\sigma d^{\gamma_\sigma} \quad \text{ns}$$

حيث تعتمد  $C_a$  و  $\gamma_a$  و  $C_\sigma$  و  $\gamma_\sigma$  على ارتفاع الهوائي وبيئة الانتشار. ويعطى الجدول 10 بعض القيم النموذجية للمعاملات فيما يتعلق بمسافات تتراوح بين 50 و 400 m، وترتكز هذه القيم على القياسات التي أجريت في مناطق حضرية ومناطق سكنية.

## الجدول 10

القيم النموذجية لمعاملات خصائص المسافة المتعلقة بقيمة جذر متوسط التربيع لامتداد وقت الانتشار بالنسبة لحالة استعمال هوائي شامل الاتجاهات

$\sigma_s$		$a_s$		ظروف القياس			
$\gamma_\sigma$	$C_\sigma$	$\gamma_a$	$C_a$	$h_2$ (m)	$h_1$ (m)	$f$ (GHz)	المنطقة
0,04	102,2	0,06	1 254,3	5	5	0,781	حضرية <sup>(1)</sup>
0,32	12	0,27	55	3,0	6,0	2,5	حضرية <sup>(2)</sup>
0,35	5,5	0,26	23	2,7	4,0	15,75-3,35	
0,39	6,1	0,51	10	1,6		8,45-3,35	
				0,5			
0,52	1,42	0,78	0,97	2,5	5	8,05	
0,77	0,54	0,53	2,1	2,7	4,0	3,35	سكنية <sup>(2)</sup>
0,48	2,0	0,32	5,9	1,6		15,75-3,35	

(1) تستعمل قيمة للعتبة تساوي 20 dB لحساب قيمة جذر متوسط التربيع لتمدد التأخير.

(2) تستعمل قيمة للعتبة تساوي 30 dB لحساب قيمة جذر متوسط التربيع لتمدد التأخير.

يكون الشكل المتوسط للمظهر الجانبي لوقت الانتشار، استناداً إلى البيانات المقیسة عند 2,5 GHz، كالتالي:

$$(87) \quad P(t) = P_0 + 50(e^{-t/\tau} - 1) \quad \text{dB}$$

حيث:

$P_0$ : قدرة الذروة (dB)

$\tau$ : عامل التناقص

وتقدر  $t$  بنانو ثانية (ns).

يمكن تقييم  $\tau$  استناداً إلى البيانات المقیسة فيما يتعلق بقيمة جذر متوسط التربيع لامتداد وقت الانتشار  $S$ ، كالتالي:

$$(88) \quad \tau = 4 S + 266 \quad \text{ns}$$

لا تكون العلاقة الخطية بين  $\tau$  و  $S$  صالحة إلا في حالة الانتشار LoS.

وقد تم أيضاً تحديد الخصائص الآنية للمظهر الجانبي لوقت الانتشار انطلاقاً من نفس مجموعة البيانات المقیسة. وتتبع الطاقة الواصلة خلال الأربعين نانوثانية الأولى توزيع رايس مع عامل  $K$  يتراوح بين 6 و 9 dB، بينما تتبع الطاقة الواصلة بعد ذلك إما توزيع رايلي أو توزيع رايس مع عامل  $K$  لا يتجاوز حوالي 3 dB. (انظر التوصية ITU-R P.1057 لتعريف توزيعات الاحتمال).

### 2.2.1.5 حالة هوائي اتجاهي

في أنظمة النفاذ اللاسلكي الثابت والاتصالات بين نقاط النفاذ الخاصة بالأنظمة الشبكية اللاسلكية المتشابهة، تستخدم الهوائيات الاتجاهية كهوائيات إرسال واستقبال. ويرد أدناه التأثير النمطي لاستخدام الهوائيات الاتجاهية. ويقوم مخطط إشعاع الهوائي عند استخدام هوائيات اتجاهية كهوائيات إرسال واستقبال بالفضاء على الموجات المتأخرة الواردة. وبالتالي يصبح امتداد وقت الانتشار صغيراً. كما تزيد القدرة المستقبلية بكسب الهوائي عند استخدام هوائيات اتجاهية كهوائيات إرسال واستقبال. واستناداً إلى هذه الحقائق، تستخدم الهوائيات الاتجاهية في الأنظمة اللاسلكية. ومن ثم، من المهم فهم تأثير اتجاهية الهوائي في نماذج تعدد المسيرات.

حددت خصائص وقت انتشار المسيرات المتعددة بالنسبة لحالة استخدام هوائي اتجاهي على خط البصر في بيئة حضرية مرتفعة المباني بالنسبة لحالي الخلية الصغيرة الحضرية المزدهمة والخلية الدقيقة (على النحو المحدد في الجدول 3) استناداً إلى بيانات قيست في النطاق 5,2 GHz على مسافات تتراوح بين 10 و 500 m وتم وضع الهوائيات بحيث يواجه اتجاه الكسب الأقصى للهوائي بالنسبة للهوائي ما اتجاه الكسب الأقصى للهوائي الأخر. ويدرج الجدول 11 معادلة لاشتقاق معاملات بالنسبة لعرض حزمة منتصف القدرة للهوائي بالنسبة للمعادلة (86) المسافات تتراوح بين 10 و 500 m استناداً إلى قياسات في منطقة حضرية. ولا تعتمد هذه المعادلات إلا على عرض حزمة منتصف قدرة الهوائي وهي فعّالة بالنسبة لأي عرض للطريق.

الجدول 11

المعاملات النموذجية لخصائص المسافة بالنسبة لقيمة جذر متوسط تربيع وقت الانتشار في حالة استخدام هوائي اتجاهي

$a_s$		ظروف القياس			
$\gamma_a$	$C_a$	$h_2$ (m)	$h_1$ (m)	$f$ (GHz)	المنطقة
$2^{-10} \times 4,60 + 2^{-10} \times 3,3$	$9,3 + 1,5 \log(\theta)$	3,5	3,5	5,2	حضرية

**الملاحظة 1 -** تستعمل قيمة للعبئة تساوي 20 dB لحساب قيمة جذر متوسط التربيع لتمدد التأخير.

$\theta$  تمثل هنا عرض حزمة منتصف قدرة الهوائي عن كل من هوائي الإرسال والاستقبال ووحدات قياسها radian. ويلاحظ أنه يجب أن تأخذ  $\theta$  القيمة  $2\pi$  عند استخدام هوائي شامل الاتجاهات كهوائي إرسال واستقبال.

يُتوقع أن تستخدم أنظمة الموجات المليمترية الراديوية هوائيات اتجاهية باستقطاب واحد أو استقطاب ثنائي. ويعطي الجدول 12 قيم جذر متوسط التربيع (r.m.s.) لتمدد التأخير المحصّلة على تردد 30 GHz باستخدام هوائيات ثنائية الاستقطاب وعلى تردد 60 GHz باستخدام هوائيات مستقطبة رأسياً في المحطة 1 والمحطة 2. وتمثل قيم 30 GHz حالة خط البصر (LoS) عندما وقعت الهوائيات على استقامة واحدة وفُرزت قيم جذر متوسط التربيع للهوائيات ذات الاستقطاب المتصالب (HV و VH) وللهوائيات الاستقطاب المشترك (HH و VV). وبالنسبة إلى التردد 60 GHz، يمثل جذر متوسط التربيع لتمدد التأخير حالتين تستخدمان هوائيات مستقطبة رأسياً في المحطة 1 والمحطة 2. وحالة خط البصر (LoS) عندما وقعت الهوائيات على استقامة واحدة، والحالة خارج خط البصر (NLoS) عندما دُورت المحطة 2 بخطوات زاوية كل منها 5° على مدار 360° مع استبعاد قيم وقوع الهوائيات على استقامة واحدة.



## الجدول 12

## قيم جذر متوسط التربيع (r.m.s.) النمطية لتمدد التأخير

r.m.s. تمدد التأخير (ns)		ظروف القياس								
%95	%50	استبانة التأخير الزمني (ns)	عرض حزمة RX (بالدرجات)	عرض حزمة TX (بالدرجات)	المدى (m)	$h_2$ (m)	$h_1$ (m)	$f$ (GHz)	السيناريو	المنطقة
(1.a)5	(1.a)1,5	0,45	35	35	60-6	1,3	3	(1)30	(3)LoS	حضرية منخفضة الارتفاع
(1.b)14,3	(1.b)6									
(2.a)2,3	(2.a)1,2	0,22	15,4	15,4	200-20	1,5	2,4	(2)60	(3)LoS	
(2.b)40,7	(2.b)6,6	0,9	2,2	15,4	60-6	1,6	3		(3)NLoS	

(1) قيمة للعتبة تساوي 20 dB، وهوائيات VV و HH، (1.b) وهوائيات VH و HV.

(2) قيمة للعتبة تساوي 20 dB، و VV و (2.a) و (2.b) وتدوير هوائي المستقبل على مدار 360 درجة.

(3) يشير "LoS" إلى الحالة التي تكون فيها الهوائيات على استقامة واحدة و NLoS إلى الحالة التي لا تكون فيها الهوائيات على استقامة واحدة رغم أن خط البصر (LoS) قائم بين محطتين.

## 3.1.5 تمدد تأخير انتشار بين مطرافين يقعان على مستوى الشارع

أعدت خصائص تمدد تأخير الانتشار متعدد المسيرات بين مطرافين يقعان على مستوى الشارع بناء على البيانات المقيسة. ويُدرج الجدول 13 قيم جذر متوسط التربيع لتمدد التأخير للحالات التي تبلغ فيها نسبة الاحتمال التراكمي 50% و 95%. وقد اشْتُقت خصائص التأخير متعدد المسيرات لحالات خط البصر (LoS) والخروج عن خط البصر (NLoS) على مسافة تتراوح بين 1 و 250 m من القياسات في المناطق الحضرية ذات المباني الشاهقة الارتفاع جداً والشاهقة الارتفاع والمنخفضة الارتفاع في النطاق الترددي 3,7 GHz.

## الجدول 13

## قيم جذر متوسط التربيع (r.m.s.) النمطية لتمدد التأخير

r.m.s. تمدد التأخير (ns)		ظروف القياس					المنطقة
%95	%50	المدى (m)	ارتفاع الهوائي		التردد (GHz)	السيناريو	
			$h_2$ (m)	$h_1$ (m)			
87	29	250-1	1,9	1,9	3,7	LoS	حضرية ذات مبان شاهقة الارتفاع جداً <sup>(1)</sup>
673	247					NLoS	
153	24					LoS	حضرية ذات مبان شاهقة الارتفاع <sup>(1)</sup>
272	145					NLoS	
131	15					LoS	حضرية ذات مبان منخفضة الارتفاع <sup>(1)</sup>
89	64					NLoS	

(1) تستعمل قيمة للعتبة تساوي 20 dB لحساب قيمة جذر متوسط التربيع لتمدد التأخير.

## 2.5 البيانات الوصفية الزاوية

### 1.2.5 التمدد الزاوي في بيئات الانتشار تحت مستوى قمم الأسطح

حددت قيمة جذر متوسط التربيع التمدد الزاوي المعرف في التوصية ITU-R P.1407 في اتجاه السميت في بيئة خلايا صغيرة أو خلايا دقيقة في منطقة حضرية كثيفة استناداً إلى القياسات التي أجريت عند تردد قدره 8,45 GHz. ومحطة الاستقبال مجهزة بهوائي مكافئي بفتحة نصف القدرة للحزمة تبلغ 4°.

كما أجري قياس في بيئة حضرية لخلية صغيرة مزدحمة في بيئة حضرية. وقد استخلصت معاملات التمدد الزاوي استناداً إلى قياسات أجريت في المناطق الحضرية لمسافات تتراوح بين 10 و 1 000 m في حالات LoS عند تردد 0,781 GHz. ويستخدم في استخلاص المواصفة الزاوية أربعة عناصر من صفيح خطي شامل الاتجاهات بأسلوب بارليت لتشكيل الحزم.

ويعرض الجدول 14 المعاملات المتحصل عليها لجذر متوسط تربيع الانتشار الزاوي.

الجدول 14

### المعاملات النموذجية لخصائص المسافة بالنسبة للتمدد الزاوي

ملاحظات	s.t.d (بالدرجات)	المتوسط (بالدرجات)	ظروف القياس			
			المنطقة	f (GHz)	h <sub>1</sub> (m)	h <sub>2</sub> (m)
LoS	13,98	28,15	حضرية	0,781	5	1,5
LoS	11	30	حضرية	8,45	4,4	2,7
NLoS	18	41	حضرية	8,45	4,4	2,7

### 2.2.5 التمدد الزاوي بين مطرافين يقعان على مستوى الشارع

أعدت خصائص التمدد الزاوي بين مطرافين يقعان على مستوى الشارع بناء على البيانات المقيسة. ويُدرج الجدول 15 قيم جذر متوسط التربيع للتمدد الزاوي للحالات التي تبلغ فيها نسبة الاحتمال التراكمي 50% و 95%. وقد اشْتُق توزيع الخصائص السمتية متعددة المسيرات لحالات خط البصر (LoS) والخروج عن خط البصر (NLoS) على مسافة تتراوح بين 1 و 250 m من القياسات في المناطق الحضرية ذات المباني الشاهقة الارتفاع جداً والشاهقة الارتفاع والمنخفضة الارتفاع في النطاق الترددي 3,7 GHz. واستُخدم هوائي صفيح دائري منتظم بثمانية عناصر لكل من المرسل والمستقبل لاستخلاص البيانات الوصفية الزاوية.

الجدول 15

### قيم جذر متوسط التربيع (r.m.s.) النمطية للتمدد الزاوي

جذر متوسط التربيع (r.m.s.) للتمدد الزاوي (بالدرجات)		ظروف القياس					
%95	%50	المدى (m)	ارتفاع الهوائي		التردد (GHz)	السيناريو	المنطقة
			h <sub>2</sub> (m)	h <sub>1</sub> (m)			
46	17	250-1	1,9	1,9	3,7	LoS	حضرية ذات مبان شاهقة الارتفاع جداً <sup>(1)</sup>
50	31					NLoS	
37	12					LoS	

61	33					NLoS	حضرية ذات مبان شاهقة الارتفاع <sup>(1)</sup>
40	12					LoS	حضرية ذات مبان منخفضة الارتفاع <sup>(1)</sup>
55	25					NLoS	

(1) تستعمل قيمة للعتبة تساوي 20 dB لحساب قيمة جذر متوسط التربيع للتمدد الزاوي.

### 3.5 عدد مكونات الإشارة

يحتاج الأمر إلى تقييم عدد مكونات الإشارة (أي المكونة الرئيسية بالإضافة إلى المكونات متعددة المسيرات) الواردة إلى المستقبل وذلك عند تصميم أنظمة بمعدل معطيات مرتفع تركز على تقنيات الفصل والتركيب. وكما هو محدد في التوصية ITU-R P.1407، يمكن تمثيل عدد مكونات الإشارة انطلاقاً من المظهر الجانبي للتأخير باعتباره عدد الذرى التي يكون اتساعها ضمن dB A من أعلى ذروة وفوق سوية الضوضاء الخلفية.

#### 1.3.5 بيئات انتشار أخرى فوق أسطح المباني

ويبين الجدول 16 النتائج بشأن عدد مكونات الإشارة بالنسبة إلى بيئات ما فوق مستوى قمم أسطح المباني من قياسات أجريت في سيناريوهات مختلفة كأنواع البيئات ونطاقات التردد وارتفاعات الهوائيات.

الجدول 16

#### العدد الأقصى من مكونات الإشارة بالنسبة إلى بيئات ما فوق مستوى قمم أسطح المباني

العدد الأقصى من المكونات						المدى (m)	ارتفاع الهوائي (m)		التردد (GHz)	مدى الإمهال	نمط البيئة
dB 10		dB 5		dB 3			$h_2$	$h_1$			
%95	%80	%95	%80	%95	%80						
4	2	2	1	2	1	1 600-100	1,7	46	2,1-1,9	ns 200	حضرية
13	3	3	2	2	2	590-150	2,7	55	3,35	ns 20	
12	3	3	2	2	2	590-150	2,7	55	8,45	ns 20	
4	2	2	1	2	1	1 500-200	1	12	2,5	ns 175	شبه حضرية
5	1	2	1	2	1	1 500-200	1	12	3,5	ns 175	
5	3	3	1	2	1	5 000-0	2,7	40	3,67	ns 50	
5	4	5	3	2	1	1 500-200	1	12	5,8	ns 100	

فيما يتعلق بالقياسات الموصوفة في الفقرة 1.1.5، ترد قيم نافذة فارق الإمهال بالنسبة لأقوى 4 مكونات إزاء أول مكوّن واصل والاتساع النسبي لكل منها في الجدول 17.

الجدول 17

نافذة فارق الإمهال بالنسبة لأقوى 4 مكّونات إزاء أول مكّون واصل والاتساع النسبي لكل منها

التأخير الزمني الزائد (μs)								المدى (m)	ارتفاع الهوائي (m)		التردد (GHz)	استبانة التأخير الزمني	نمط البيئة
الرابع		الثالث		الثاني		الأول			$h_2$	$h_1$			
%95	%80	%95	%80	%95	%80	%95	%80						
3,26	2,35	2,93	1,74	1,98	1,1	1,43	0,5	1 600-100	1,7	46	2,1-1,9	ns 200	حضرية
9,8-	9,1-	9,6-	8,5-	9-	7,3-	0	0	القدرة النسبية إزاء أقوى مكّون (dB)					

## 2.3.5 بيئات الانتشار ما دون مستوى قمم أسطح المباني

يعرض الجدول 18 نتائج عدد مكونات الإشارة بالنسبة إلى بيئات ما دون مستوى قمم أسطح المباني من قياسات أجريت في سيناريوهات مختلفة كأنواع البيئات ونطاقات التردد وارتفاعات الهوائيات.

الجدول 18

## العدد الأقصى من مكونات الإشارة بالنسبة إلى بيئات ما دون مستوى قمم أسطح المباني

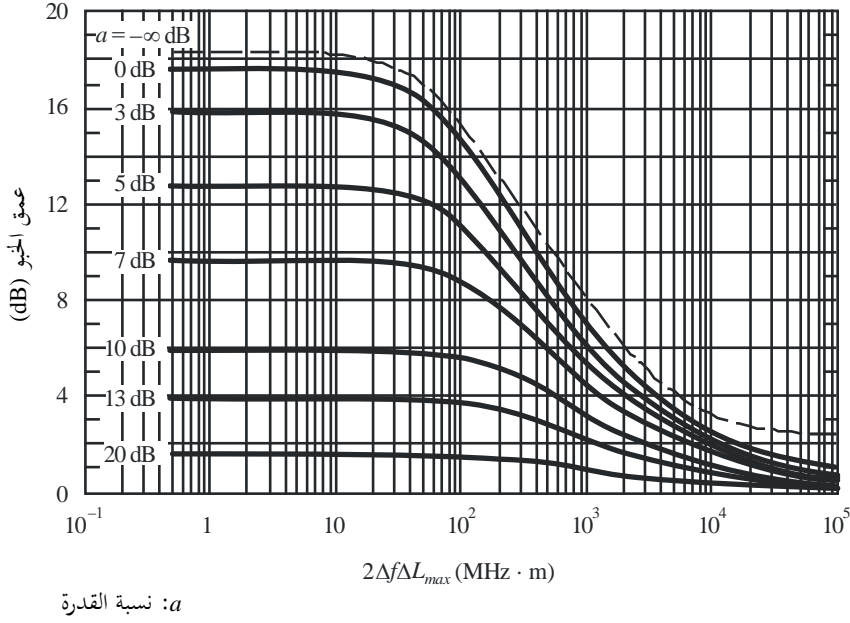
العدد الأقصى من المكونات						المدى (m)	ارتفاع الهوائي (m)		التردد (GHz)	مدى الإمهال	نمط البيئة
dB 10		dB 5		dB 3			$h_2$	$h_1$			
%95	%80	%95	%80	%95	%80						
6	5	4	2	3	2	200-0	1,6	4	3,35	ns 20	حضرية
9	5	4	2	3	2	1 000-0					
6	4	3	2	3	1	200-0	1,6	4	8,45	ns 20	
8	4	4	2	2	1	1 000-0					
5	4	3	2	3	1	200-0	1,6	4	15,75	ns 20	سكنية
10	6	4	2	3	2	1 000-0					
3	2	2	2	2	2	480-0	2,7	4	3,35	ns 20	

## 4.5 خصائص الخبو

يُعبّر عن عمق الخبو، الذي يعرّف بالفرق بين القيمة 50% و القيمة 1% في الاحتمال التراكمي لسويات الإشارة المستقبلية، بدلالة ناتج ( $2\Delta f \Delta L_{max}$  MHz · m) عرض النطاق المستقبل البالغ  $2\Delta f$  MHz والفرق الأقصى في أطوال مسير الانتشار  $\Delta L_{max}$  m كما هو موضح في الشكل 12. وتدل  $\Delta L_{max}$  على الفرق الأقصى في أطوال مسير الانتشار بين المكونات التي تكون سويتها أعلى من العتبة التي تقل بمقدار 20 dB عن أعلى سوية للموجات غير المباشرة كما هو موضح في الشكل 13. وتدل  $a$  المعبر عنها بالديسيبل في هذا الشكل على نسبة قدرة الموجات المباشرة إلى مجموع الموجات غير المباشرة، وتمثل  $a = -\infty$  dB حالة انتشار خلاف خط البصر. وعندما تكون  $2\Delta f \Delta L_{max}$  أدنى من  $10 \text{ MHz} \cdot \text{m}$ ، تتبع سويات الإشارة المستقبلية في حالة الانتشار في خط البصر والانتشار خلاف خط البصر توزيع رايلي وتوزيع ناكاغامي-رايس المقابلين لمنطقة خبو نطاق ضيق. وعندما تكون أعلى من  $10 \text{ MHz} \cdot \text{m}$ ، تقابل منطقة خبو نطاق واسع، حيث يصبح عمق الخبو أقل ولا تتبع سويات الإشارة المستقبلية لا توزيع رايلي ولا توزيع ناكاغامي-رايس.

الشكل 12

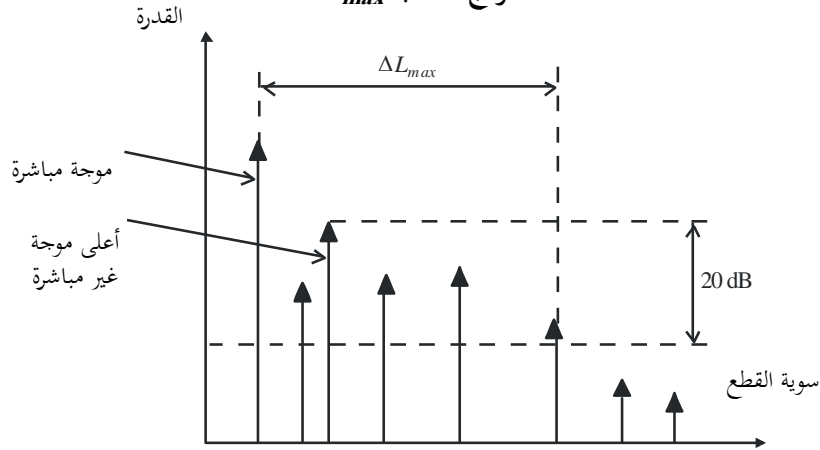
العلاقة بين عمق الخبو والقيمة  $2\Delta f\Delta L_{max}$



P.1411-12

الشكل 13

نموذج حساب  $\Delta L_{max}$



التأخير  
P.1411-13

## 6 خصائص الاستقطاب

يختلف تمييز الاستقطاب المتقاطع (XPD) كما جاء تعريفه في التوصية ITU-R P.310 بين منطقتي الانتشار LoS و NLoS في بيئة الخلايا الصغيرة العاملة بالموجات السنتيمترية (SHF) لمنطقة حضرية مزدحمة. وتبين القياسات قيمة متوسطة لتمييز الاستقطاب المتقاطع قدرها 13 dB للمسيرات LoS و 8 dB للمسيرات NLoS وانحراف معياري قدره 3 dB للمسيرات LoS و 2 dB للمسيرات NLoS في مدى الموجات السنتيمترية. وتتوافق هذه القيم المتوسطة مع قيم انتشار الموجات الديسيتمترية في المناطق المكشوفة والمناطق الحضرية على التوالي الواردة في التوصية ITU-R P.1406.

## 7 بيانات الانتشار وطرائق التنبؤ لنهج تشكيل المسير

## 1.7 تصنيف شكل المسير

في المناطق المأهولة بالسكان فيما عدا المناطق الريفية، يمكن تصنيف شكل المسير للقنوات اللاسلكية إلى تسع فئات كما هو مبين في الجدول 19. ويستند التصنيف بشكل كامل إلى بيئة حقيقية لانتشار الموجات. وتحليل توزيع ارتفاع المبنى وكثافة المباني للمواقع التمثيلية المختلفة باستخدام قاعدة بيانات نظام المعلومات الجغرافية (GIS).

الجدول 19

## تصنيف شكل المسير بالنسبة لقناة MIMO

الكثافة	تشكيل المسير	
فوق 35%	كثافة عالية (HRHD)	عالي الارتفاع (فوق 25 m)
20 ~ 35%	كثافة متوسطة (HRMD)	
أقل من 20%	كثافة منخفضة (HRLD)	
فوق 35%	كثافة عالية (HRHD)	متوسط الارتفاع (m 12 ~ m 25)
20 ~ 35%	كثافة متوسطة (HRMD)	
أقل من 20%	كثافة منخفضة (HRLD)	
فوق 35%	كثافة عالية (HRHD)	منخفض الارتفاع (أقل من 12 m)
20 ~ 35%	كثافة متوسطة (HRMD)	
أقل من 20%	كثافة منخفضة (HRLD)	

## 2.7 طريقة النمذجة الإحصائية

عادة ما تكون بيانات القياس محدودة جداً وغير شاملة. ولذا، فمن أجل أشكال محددة للمسيرات وترددات تشغيل محددة، يمكن استخدام الطريقة التالية لاستخلاص المعلمات لنموذج قناة MIMO. وقد أظهرت قياسات لخصائص قنوات عدد 9 أشكال نمطية للمسيرات عند التردد GHz 3,705 توافقاً إحصائياً جيداً مقارنة بطريقة النمذجة.

وتحدد النماذج من أجل حالة  $h_1 > h_r$ . وترد تعاريف  $f$  و  $d$  و  $h_r$  و  $h_1$  و  $\Delta h_1$  و  $h_m$  في الفقرة 1.3 وتمثل  $B_d$  كثافة المباني. ويصلح نهج تشكيل المسير للقيم التالية للمعلمات:

$$f: 800 \text{ إلى } 6\,000 \text{ MHz}$$

$$d: 100 \text{ إلى } 800 \text{ m}$$

$$h_r: 3 \text{ إلى } 60 \text{ m}$$

$$h_1: \Delta h_1 + h_r$$

$$\Delta h_1: \text{حتى } 20 \text{ m}$$

$$h_m: \text{من } 1 \text{ إلى } 3 \text{ m}$$

$$B_d: 10 \text{ إلى } 45\%$$

وفي النمذجة الإحصائية، تتولد المباني بطريقة عشوائية تماماً. ومن المعروف جيداً أن توزيع ارتفاع المبنى  $h$  يكون جيداً إحصائياً باستخدام توزيع رايلي  $P(h)$  مع المعلمة  $\mu$ .

$$(89) \quad P(h) = \frac{h}{\mu^2} \exp\left(\frac{-h^2}{2\mu^2}\right)$$

ولاستخلاص المعلمات الإحصائية لتوزيع رايلي بشكل مسير معين، يوصى باستعمال قاعدة البيانات GIS المتاحة. وبالنسبة للأوضاع الأفقية للمباني، يمكن افتراض أنها موزعة بانتظام.

ويجري حساب انتشار الموجات لكل حالة من حالات توزيع المباني باستخدام طريقة تتبع الشعاع. ويوصى باستخدام 15 مرة انعكاس ومرتين انكسار من أجل المحاكاة. ومن المهم أيضاً مراعاة اختراق المباني. ويوصى بضبط القدرة المستقبلية بصورة سليمة لمراعاة اختراق المباني. وللحصول على معلمات النموذج، ينبغي إجراء عمليات المحاكاة لعدد كافٍ من المرات لكل شكل من أشكال المسيرات، ويوصى بعدد 4 مرات على الأقل. وبالنسبة لكل مرة من مرات المحاكاة، ينبغي وضع عدد كافٍ من المستقبلات في منطقة الحساب للحصول على بيانات ذات مغزى إحصائياً. ويوصى بوجود 50 مستقبلاً على الأقل في كل تقسيم فرعي للمسافة طوله 10 m. وينبغي ضبط ارتفاعي هوائي الإرسال والاستقبال على قيم مناسبة. ويوصى بضبط قيمتي ثابت الكهروناظرية والموصلية على  $\epsilon_r = 7,0$  و  $\sigma = 0,015$  S/m بالنسبة للمباني  $\epsilon_r = 2,6$  و  $\sigma = 0,012$  S/m للأراضي المسطحة.

وترد قيم معلمات توزيع ارتفاع المبنى للحالات النمطية في الجدول 20. وأبعاد المباني هي  $20 \times 20$  m<sup>2</sup> و  $20 \times 25$  m<sup>2</sup> و  $20 \times 30$  m<sup>2</sup>. وكثافات المباني هي 40% و 30% و 20% بالنسبة للكثافات العالية والمتوسطة والمنخفضة.

### الجدول 20

#### معلمات توزيع ارتفاع المبنى من أجل النمذجة الإحصائية

متوسط ارتفاع المبنى (m)	مدى توزيع ارتفاع المبنى (m)	معلمة رايلي $\mu$	تشكيل المسير
34,8	78,6~12,3	18	HRHD
34,4	70,8~12,5		HRMD
34,2	68,0~13,2		HRLD
19,5	41,2~7,3	10	MRHD
19,6	39,0~7,2		MRMD
19,4	40,4~7,4		MRLD
9,1	23,1~2,1	6	LRHD
9,4	22,2~2,5		LRMD
9,5	23,5~2,5		LRLD

### 3.7 نموذج خسارة المسير

يحدد نموذج خسارة المسير في هذه التوصية بالمعادلتين:

$$(90) \quad PL = PL_0 + 10 \cdot n \cdot \log_{10}(d) + S \quad (\text{dB})$$

$$(91) \quad PL_0 = -27,5 + 20 \cdot \log_{10}(f) \quad (\text{dB})$$

حيث  $n$  أس خسارة المسير. و  $S$  قيمة عشوائية تمثل الانتشار العشوائي حول خط الانقلاب بالتوزيع النظامي ويرمز للانحراف المعياري للقيمة  $S$  بالرمز  $\sigma_s$ . ووحدات  $f$  و  $d$  هي MHz و m، على التوالي.



وتعرض معلمات خسارة المسير للحالات النمطية الخاصة بعدد 9 أشكال من أشكال المسيرات من النمذجة الإحصائية عند تردد 3,705 GHz في الجدول 21. ويبلغ ارتفاع المستقبل 2 m ويتم تحريك الأجزاء البعيدة بشكل جيد للحصول على المعلمات السليمة.

## الجدول 21

معلمات خسارة المسير لعدد 9 أشكال من أشكال المسيرات عند تردد 3,705 GHz

شكل المسير	ارتفاع هوائي الإرسال (m)	متوسط كثافة المباني (%)	$n$	$\sigma_s$
HRHD	50	40	3,3	9,3
HRMD	50	30	2,9	6,3
HRLD	50	20	2,5	3,6
MRHD	30	40	2,8	4,7
MRMD	30	30	2,6	4,9
MRLD	30	20	2,3	2,7
LRHD	20	40	2,4	1,3
LRMD	20	30	2,3	1,8
LRLD	20	20	2,2	1,8

## 4.7 نموذج وقت الانتشار

يمكن أيضاً نمذجة جذر متوسط تريبع وقت الانتشار كدالة في المسافة. ويستخلص جذر متوسط تريبع وقت الانتشار عبر مسيرات تسود فيها الحالة NLoS على مسافات من 100 إلى 800 m بنمذجتها كدالة في المسافة من المعادلة:

$$DS = A \cdot d^B \quad (\text{ns}) \quad (92)$$

وترد معلمات وقت الانتشار لحالات نمطية لعدد 9 أشكال من أشكال المسير من النمذجة الإحصائية عند التردد 3,705 GHz في الجدول 22. ويبلغ ارتفاع المستقبل 2 m ويتم تحريك الأجزاء البعيدة بشكل جيد للحصول على المعلمات السليمة.

الجدول 22

معلومات وقت الانتشار لعدد 9 أشكال من أشكال المسيرات عند تردد 3,705 GHz

وقت الانتشار (ns)		متوسط كثافة المباني (%)	ارتفاع هوائي الإرسال (m)	شكل المسير
B	A			
0,072	237	40	50	HRHD
0,074	258	30	50	HRMD
0,11	256	20	50	HRLD
0,095	224	40	30	MRHD
0,12	196	30	30	MRMD
0,19	172	20	30	MRLD
0,18	163	40	20	LRHD
0,23	116	30	20	LRMD
0,29	90	20	20	LRLD

5.7 نموذج التمدد الزاوي

التمدد الزاوي للانطلاق (ASD) والوصول (ASA) عبر المسيرات على مسافات من 100 إلى 800 m يمكن نمذجته كنموذج بدلالة المسافة ويستخلص بالمعادلتين:

$$(93) \quad ASD = \alpha \cdot d^{\beta} \quad (\text{degrees})$$

$$(94) \quad ASA = \gamma \cdot d^{\delta} \quad (\text{degrees})$$

وتعرض معلومات الانتشارين ASD و ASA للحالات النمطية لعدد 9 أشكال من أشكال المسيرات من النمذجة الإحصائية عند التردد 3,705 GHz في الجدولين 23 و 24.

الجدول 23

معلومات الانتشار ASD لعدد 9 أشكال من أشكال المسيرات عند تردد 3,705 GHz

$\beta$	$\alpha$	متوسط كثافة المباني (%)	ارتفاع هوائي الإرسال (m)	شكل المسير
0,13-	107	40	50	HRHD
0,18-	116	30	50	HRMD
0,31-	250	20	50	HRLD
0,22-	115	40	30	MRHD
0,33-	232	30	30	MRMD
0,37-	264	20	30	MRLD
0,33-	192	40	20	LRHD
0,29-	141	30	20	LRMD
0,24-	113	20	20	LRLD

## الجدول 24

معلومات الانتشار ASA لعدد 9 أشكال من أشكال المسيرات عند تردد 3,705 GHz

شكل المسير	ارتفاع هوائي الإرسال (m)	متوسط كثافة المباني (%)	$\gamma$	$\delta$
HRHD	50	40	214	0,27-
HRMD	50	30	147	0,17-
HRLD	50	20	140	0,14-
MRHD	30	40	127	0,15-
MRMD	30	30	143	0,16-
MRLD	30	20	132	0,13-
LRHD	20	40	109	0,09-
LRMD	20	30	124	0,11-
LRLD	20	20	94	0,06-

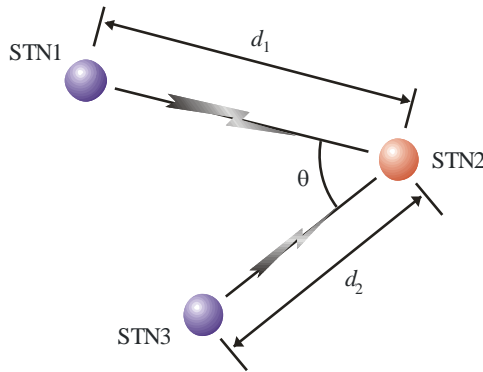
## 8 نموذج الارتباط المتبادل لقناة متعددة الوصلات

## 1.8 تعريف المعلمات

وضع نموذج الارتباط المتبادل لقناة متعددة الوصلات في بيئة سكنية استناداً إلى بيانات قياس عند تردد 3,7 GHz على مسافات من 50 إلى 600 m وبصور الشكل 14 شكل هندسي لقناة متعددة الوصلات، وتستعمل المعلمتان التاليتان، أي زاوية الفصل والمسافة النسبية، من أجل النمذجة الهندسية للقناة متعددة الوصلات.

الشكل 14

مخطط للوصلات المتعددة



P.1411-14

وزاوية الفصل  $\theta$  هي الزاوية بين الوصلة المباشرة STN2-STN1 والوصلة المباشرة STN2-STN3. وتحدد المسافة النسبية  $\tilde{d}$  كالتالي:

$$(95) \quad \tilde{d} = \log_{10} \frac{d_1}{d_2}$$

حيث  $d_1$  و  $d_2$  يمثلان على التوالي المسافة بين المحطتين 1 و 2 وبين المحطتين 2 و 3، عندما تكون المحطة 2 بعيدة عن المحطتين 1 و 3 وعلى نفس المسافة النسبية  $\tilde{d} = 0$ .

ويحدد مدى الزاوية  $\theta$  والمسافة  $\tilde{d}$  كالتالي:

$$(96) \quad 0^\circ < \theta < 180^\circ, -0.3 \leq \tilde{d} \leq 0.3$$

## 2.8 الارتباط المتبادل للمعاملات الزمانية المكانية طويلة الأمد

تتضمن المعاملات الزمانية المكانية طويلة الأمد لنموذج الارتباط المتبادل:

- خبج الحجب (SF)
- المعامل K (KF)
- تمدد التأخير (DS)
- تمدد زاوية الوصول (ASA)
- تمدد زاوية الانطلاق (ASD).

ويتحصل على نماذج الارتباط المتبادل بين المعاملات الزمانية المكانية طويلة الأمد بين الوصلة STN2-STN1 و STN2-STN3 من المعادلتين التاليتين:

وتعرف نماذج الارتباط المتبادل ( $\rho$ ) للمعاملات SF و KF و DS و ASA و ASD بين وصلتين بدلالة زاوية الفصل كالتالي:

$$(97) \quad \rho_{(SF,KF,DS,ASA)}(\theta) = A \cdot \exp(-\theta^2/B)$$

$$(98) \quad \rho_{ASD}(\theta) = A \cdot \ln(\theta) + B$$

ويعرض الجدول 25 المعاملات النمطية لكل نموذج من نماذج الارتباط المتبادل بدلالة زاوية الفصل والمتحصل عليها من قياسات في بيئات سكنية نمطية عند التردد 3,7 GHz.

الجدول 25

### المعاملات النمطية لنماذج الارتباط المتبادل للمعاملات الزمانية المكانية طويلة الأمد بالنسبة لزاوية الفصل

معامل الارتباط المتبادل				ارتفاع الهوائي		التردد (GHz)	المنطقة	المعلمة
B		A		$h_2$ (m)	$h_1$ و $h_3$ (m)			
انحراف معياري	متوسط	انحراف معياري	متوسط					
89	619	$2^{-10} \times 4,3$	0,749	2	25	3,7	سكنية	خبج الحجب
6	2 129	$3^{-10} \times 4,9$	0,295					المعامل K
119	1 132	$2^{-10} \times 7,0$	0,67					تمدد التأخير
484	1 780	$3^{-10} \times 2,1$	0,582					تمدد زاوية الوصول
0,016	0,483	$4^{-10} \times 9,2$	0,0989-					تمدد زاوية الانطلاق

وتعرف نماذج الارتباط المتبادل ( $\rho$ ) للمعاملات SF و KF و DS و ASA و ASD بين وصلتين بدلالة المسافة النسبية كالتالي:

$$(99) \quad \rho_{(SF,KF,DS,ASA)}(\tilde{d}) = A \cdot \exp(-|\tilde{d}|/B)$$

$$(100) \quad \rho_{ASD}(\tilde{d}) = A \cdot |\tilde{d}| + B$$

ويعرض الجدول 26 المعاملات النمطية لكل نموذج من نماذج الارتباط المتبادل بدلالة المسافة النسبية والمتحصل عليها استناداً إلى قياسات أجريت في بيئات سكنية نمطية عند تردد 3,7 GHz.

الجدول 26

المعاملات النمطية لنماذج الارتباط المتبادل للمعاملات الزمانية المكانية طويلة الأمد بالنسبة للمسافة النسبية

معامل الارتباط المتبادل				ارتفاع الهوائي		التردد (GHz)	المنطقة	المعلمة
B		A		$h_2$	$h_1$			
انحراف معياري	متوسط	انحراف معياري	متوسط	(m)	و $h_3$ (m)			
$2^{-10} \times 4,9$	0,38	$2^{-10} \times 1,4$	0,572	2	25	3,7	سكنية	خجو الحجب
$3^{-10} \times 7,1$	0,27	$3^{-10} \times 2,8$	0,429					المعامل K
$1^{-10} \times 1,6$	0,38	$2^{-10} \times 4,6$	0,663					تمدد التأخير
$2^{-10} \times 2,1$	0,38	$2^{-10} \times 1,1$	0,577					تمدد زاوية الوصول
$2^{-10} \times 4,2$	0,196	$1^{-10} \times 1,9$	0,51					تمدد زاوية الانطلاق

ويتحصل على نموذج الارتباط المتبادل ( $\rho$ ) للمعاملات SF و KF و DS و ASA و ASD بين وصلتين بالنسبة لزاوية الفصل والمسافة النسبية كالتالي:

$$(101) \quad \rho_{(SF,KF,DS,ASA,ASD)}(\theta, \tilde{d}) = A \cdot \exp(-\frac{\theta^2}{B}) \cdot \exp(-\frac{\tilde{d}^2}{C})$$

ويعرض الجدول 27 المعاملات النمطية لنموذج المعاملات النمطية لكل نموذج من نماذج الارتباط المتبادل بدلالة الارتباط المتبادل بدلالة زاوية الفصل والمسافة النسبية والمتحصل عليه استناداً إلى قياسات أجريت في بيئات سكنية نمطية عند التردد 3,7 GHz.

الجدول 27

المعاملات النمطية لنموذج الارتباط المتبادل للمعلومات الزمانية المكانية طويلة الأمد  
بالنسبة لزاوية الفصل والمسافة النسبية

معامل الارتباط المتبادل						ارتفاع الهوائي		التردد (GHz)	المنطقة	المعلمة
C		B		A		h <sub>2</sub> (m)	h <sub>3</sub> و h <sub>1</sub> (m)			
انحراف معياري	متوسط	انحراف معياري	متوسط	انحراف معياري	متوسط					
2 <sup>-10</sup> ×9,2	0,42	4,6	29,31	3 <sup>-10</sup> ×7,1	0,53	2	25	3,7	سكنية	خجو الحجب
2 <sup>-10</sup> ×4,2	0,21	5,9	22,48	2 <sup>-10</sup> ×6,4	0,28					المعامل K
5 <sup>-10</sup> ×7,1	0,21	3,7	29,31	2 <sup>-10</sup> ×9,2	0,46					تمدد التأخير
2 <sup>-10</sup> ×2,1	0,21	0,15	29,31	2 <sup>-10</sup> ×4,9	0,49					تمدد زاوية الوصول
2 <sup>-10</sup> ×2,1	0,21	2,5	29,31	2 <sup>-10</sup> ×6,4	0,34					تمدد زاوية الانطلاق

3.8 الارتباط المتبادل للحجب قصير الأمد في مجال التأخير

الارتباط المتبادل للحجب قصير الأمد في مجال التأخير للاستجابة النبضية لقناة الوصلة STN2-STN1، عند التأخير  $\tau_i$  وللإستجابة النبضية لقناة الوصلة STN2-STN3، عند التأخير  $h_i(\tau_i)$ ، يمكن حسابه كالتالي:

$$(102) \quad c_{h_i h_j}(\tau_i, \tau_j) = \text{Real}\{E[(h_i(\tau_i) - \bar{h}_i(\tau_i))(h_j(\tau_j) - \bar{h}_j(\tau_j))^*]\}$$

حيث (•) تمثل موقع إزاحة معينة ويلاحظ أن عينات التأخير للاستجابات النبضية للقنوات ذات القدرة التي تندرج في المدى الدينامي (5 dB) هي فقط التي تعتبر مكونات بالنسبة لحساب الارتباط المتبادل. كما أن معاملات الارتباط ذات القيم بين -1 و 1 يتم الحصول عليها عن طريق المعايرة أي:

$$(103) \quad c_{h_i h_j}(\tau_i, \tau_j) = \text{Real}\left\{\frac{E[(h_i(\tau_i) - \bar{h}_i(\tau_i))(h_j(\tau_j) - \bar{h}_j(\tau_j))^*]}{\sqrt{E[(h_i(\tau_i) - \bar{h}_i(\tau_i))^2]} \sqrt{E[(h_j(\tau_j) - \bar{h}_j(\tau_j))^2]}}\right\}$$

وتراعى المعلمة الثلاث التالية بالنسبة لنموذج الارتباط المتبادل للحجب قصير الأمد،  $c_{h_i h_j}(\tau_i, \tau_j)$

- الارتباط المتبادل الأقصى للحجب قصير الأمد  $c_{h_i h_j}(\tau_i, \tau_j)$

$$(104) \quad \rho_{Fmax} = \max\{c_{h_i h_j}(\tau_i, \tau_j)\}$$

- الارتباط المتبادل الأدنى للحجب قصير الأمد  $c_{h_i h_j}(\tau_i, \tau_j)$

$$(105) \quad \rho_{Fmin} = \min\{c_{h_i h_j}(\tau_i, \tau_j)\}$$

- الانحراف المعياري للارتباط المتبادل للحجب قصير الأمد  $c_{h_i h_j}(\tau_i, \tau_j)$

$$(106) \quad \rho_{Fstd} = \sqrt{\frac{1}{T_i T_j} \int (c_{h_i h_j}(\tau_i, \tau_j) - c_{h_i h_j, \text{mean}})^2 d\tau_i d\tau_j}$$

حيث  $T_i$  و  $T_j$  تمثلان المديتين  $\tau_i$  و  $\tau_j$ ، على التوالي، كما تمثل  $c_{h_i h_j, \text{mean}}$  القيمة المتوسطة للارتباط المتبادل للحجب قصير الأمد. وهي تقترب من الصفر مع تغير طفيف أي كانت زاوية الفصل والمسافة النسبية.

وتعطي نماذج الارتباط المتبادل ( $\rho_F$ ) للخبو المنخفض بين وصلتين بالنسبة لزاوية الفصل بالمعادلة.

$$(107) \quad \rho_F(\theta) = A \cdot \ln(\theta) + B$$

ويعرض الجدول 28 المعاملات النمطية لنموذج الارتباط المتبادل بالنسبة لزاوية الفصل والمتحصل عليها استناداً إلى قياسات أجريت في بيئات سكنية نمطية عند التردد 3,7 GHz.

الجدول 28

## المعاملات النمطية لنماذج الارتباط المتبادل للخبو قصير الأمد بالنسبة لزاوية الفصل

معاملات الارتباط المتبادل				ارتفاع الهوائي		التردد (GHz)	المنطقة	المعلمة
B		A		$h_2$ (m)	$h_1$ و $h_3$ (m)			
انحراف معياري	متوسط	انحراف معياري	متوسط					
$3^{-10} \times 3,5$	0,635	$3^{-10} \times 2,5$	$2^{-10} \times 1,09$	2	25	3,7	سكنية	أقصى
$2^{-10} \times 1,1$	0,659	$4^{-10} \times 6,4$	$2^{-10} \times 1,62$					أدنى
$5^{-10} \times 7,1$	0,417	$5^{-10} \times 7,1$	$3^{-10} \times 9,71$					انحراف معياري

ويتحصل على نماذج الارتباط المتبادل للخبو قصير الأمد بين وصلتين بالنسبة للمسافة النسبية من المعادلة:

$$(108) \quad \rho_F(\tilde{d}) = A \cdot \exp(-|\tilde{d}|/B)$$

ويعرض الجدول 29 المعاملات النمطية لدالات الارتباط المتبادل بالنسبة للمسافة النسبية والمتحصل عليها استناداً إلى قياسات أجريت في بيئات سكنية نموذجية عند التردد 3,7 GHz.

الجدول 29

## المعاملات النمطية لنموذج الارتباط المتبادل للخبو قصير الأمد بالنسبة للمسافة النسبية

معاملات الارتباط المتبادل				ارتفاع الهوائي		التردد (GHz)	المنطقة	المعلمة
B		A		$h_2$ (m)	$h_1$ و $h_3$ (m)			
انحراف معياري	متوسط	انحراف معياري	متوسط					
$5^{-10} \times 7,1$	5,1	$3^{-10} \times 2,8$	0,628	2	25	3,7	سكنية	أقصى
$1^{-10} \times 1,0$	3,75	$3^{-10} \times 5,7$	0,626					أدنى
$5^{-10} \times 7,1$	5,1	$4^{-10} \times 7,1$	0,401					انحراف معياري

## 9 خصائص الانتشار في البيئات عالية الدوبلرية

إن المسافة التي يمكن من خلالها تقدير البيانات الوصفية لمتوسط تأخير القدرة ومعلمات القناة ذات الصلة مثل جذر متوسط التربيع (r.m.s) لتمدد التأخير، تتعلق بسرعة السيارة وعرض نطاق القياس. وتجري القطارات عالية السرعة بسرعات تبدأ من 200 km/h (55 m/s) مما يؤدي إلى إزاحات دوبلرية عالية ومسافات قصيرة يمكن أن تُعتبر الخصائص العشوائية للوصلة ثابتة خلالها.

وتتكون الوصلات الراديوية للقطارات من وصلات المباشرة حيث يقع الهوائي داخل القطار أو وصلات ترحيل حيث يقع الهوائي أعلى القطار. وقد حُللت قياسات قناة راديوية أجريت على طول خط السكة الحديدية في بيجين، الصين على تردد 2 650 MHz و 1 890 MHz باستخدام استبانة 18 MHz لشفرة Gold التي ترسلها شبكة الاتصالات الراديوية أو مسبار قناة بعرض نطاق 50 MHz على التردد 2 350 MHz لتقدير المسافة التي يمكن خلالها أن تُعتبر القناة ومعلمات القناة المقابلة ثابتة. وللقطارات عدد من السيناريوهات الخاصة التي تشمل الجسر (جسر لخط السكك الحديدية)، والثلم (هيكل ضيق شبه مغلق مغطى بالنباتات على جدران منحدره على جانبي القطار)، والتضاريس الجبلية، ومحطة القطار، والأنفاق.

ويبين الجدول 30 المسافة التي قُدرت القناة ثابتة عبرها في سيناريو هي الجسر والثلم للوصلات مباشرة ووصلات الترحيل ومتوسط المسافة المقابلة.

الجدول 30

ملخص المسافة التي يمكن أن تُعتبر القناة عبرها ثابتة في سيناريوهين

متوسط المسافة (m)	المسافة الثابتة (m)	سرعة القطار (km/h)	التردد (MHz)	خطة التغطية	سيناريو القياس
4,2	5-3,4	285	2 650	وصلة مباشرة <sup>(1)</sup>	جسر
2,8	3,5-1,9	285	1 890	وصلة ترحيل <sup>(1)</sup>	
0,51	0,51	200	2 350	وصلة ترحيل <sup>(2)</sup>	ثلم

<sup>(1)</sup> بلغ عرض نطاق القياس 18 MHz

<sup>(2)</sup> بلغ عرض نطاق القياس 50 MHz

استُخدمت القياسات لتقييم قيم جذر متوسط التربيع (r.m.s) لتمدد التأخير عند عتبة 20 dB وعامل K صغير النطاق على النحو المدرج في الجدول 31 لسيناريو هي الجسر والثلم.

الجدول 31

جذر متوسط التربيع (r.m.s) لتمدد التأخير وعامل K

عامل K		جذر متوسط التربيع (r.m.s) لتمدد التأخير (ns)		ظروف القياس					
%95	%50	%95	%50	المدى (m)	ارتفاع الهوائي		التردد (MHz)	خطة التغطية	السيناريو
					$h_2$ (m)	$h_1$ (m)			
9	4	210	101	1 000-200	10	30	2 650	وصلة مباشرة	جسر
15	8	120	29	1 000-200	10	30	1 890	وصلة ترحيل	جسر
11	4	171	38	1 000-100	3	14	2 350	وصلة ترحيل	ثلم